



東南大學
SOUTHEAST UNIVERSITY

数字通信的计算机仿真 (研讨)

8 AWGN信道的最优接收

讲解人: 王俊波

E-mail: jbwang@seu.edu.cn

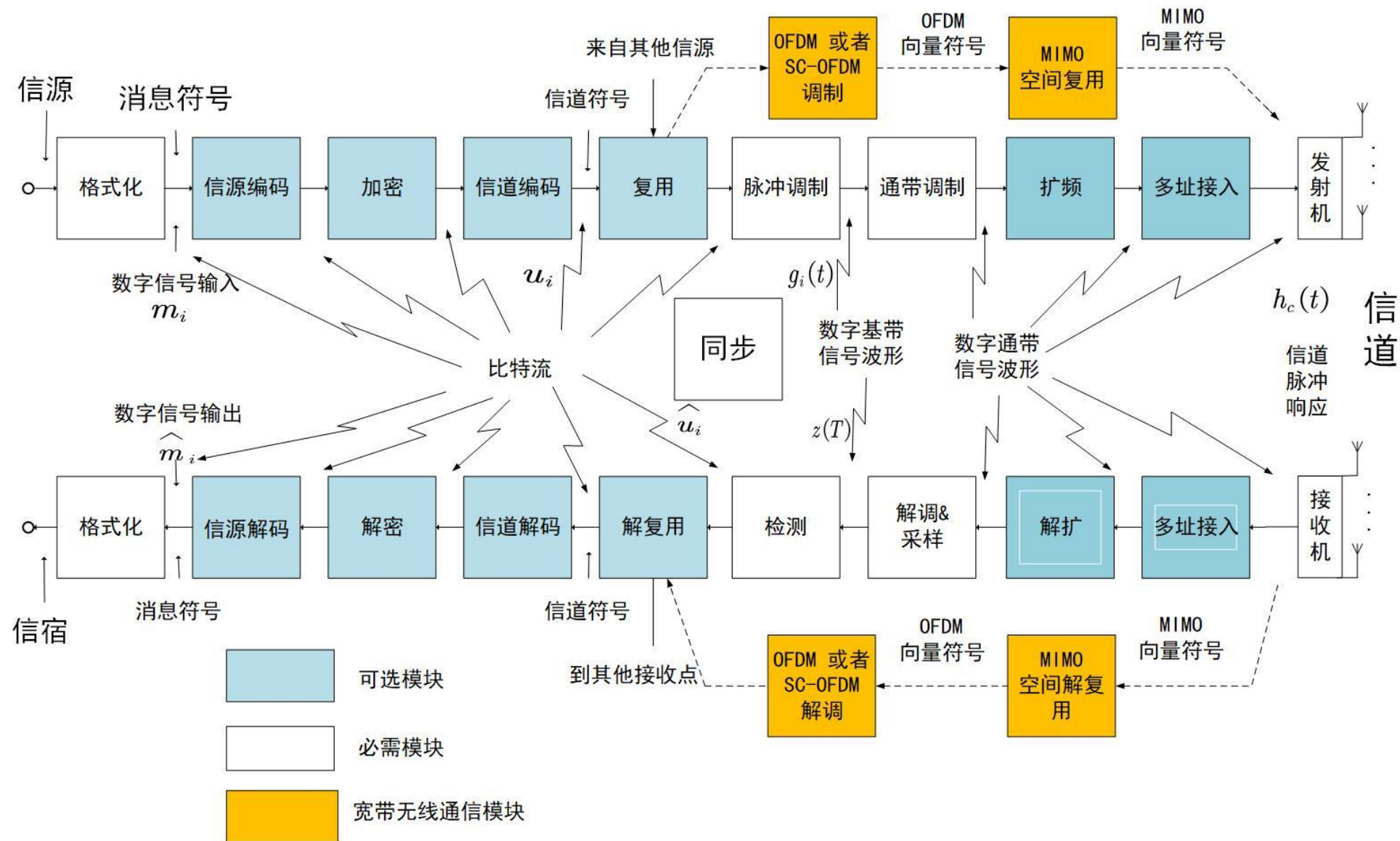
Phone: 13770681926

QQ:308322767

主要内容

- 信号空间与信号矢量
- AWGN信道的信号检测
 - ✓ 贝叶斯检测与最大似然检测
- 二阶调制的波形
 - ✓ 双极性
 - ✓ 正交
- 接收机实现
 - ✓ 相关器接收机
 - ✓ 匹配滤波器接收机
- 高阶调制简介

数字通信系统的一般结构



信号空间与信号矢量

- 在数字通信系统中，调制器的输入通常是一串二进制的比特信息
 - ✓ 对二阶调制，调制器通常会将0和1分别映射成两个波形： $s_1(t)$ 和 $s_2(t)$
 - ✓ 对 M 阶调制，调制器会使用 M 个波形 $\{s_i(t)\}_{i=1,\dots,M}$ ，每次传输 k 个比特数据，这里通常 $M = 2^k$

□ 使用信号波形框架进行研究，显得冗长不方便，引出了信号矢量的概念

□ 在定义时间 $[0, T]$ 上定义函数的正交集合 $\phi_j(t)$ 满足

$$\int_0^T \phi_i(t) \phi_j(t) dt = \begin{cases} 1 & i = j \\ 0 & \text{其他} \end{cases}$$

□ 给定 $s_i(t)$ 是第 i 个信号波形，对该信号进行分解，可得

$$s_{ik} = \int_0^T s_i(t) \phi_k(t) dt$$

信号空间与信号矢量

- 利用 s_{ik} , 可将 $s_i(t)$ 表示为若干正交函数的加权和

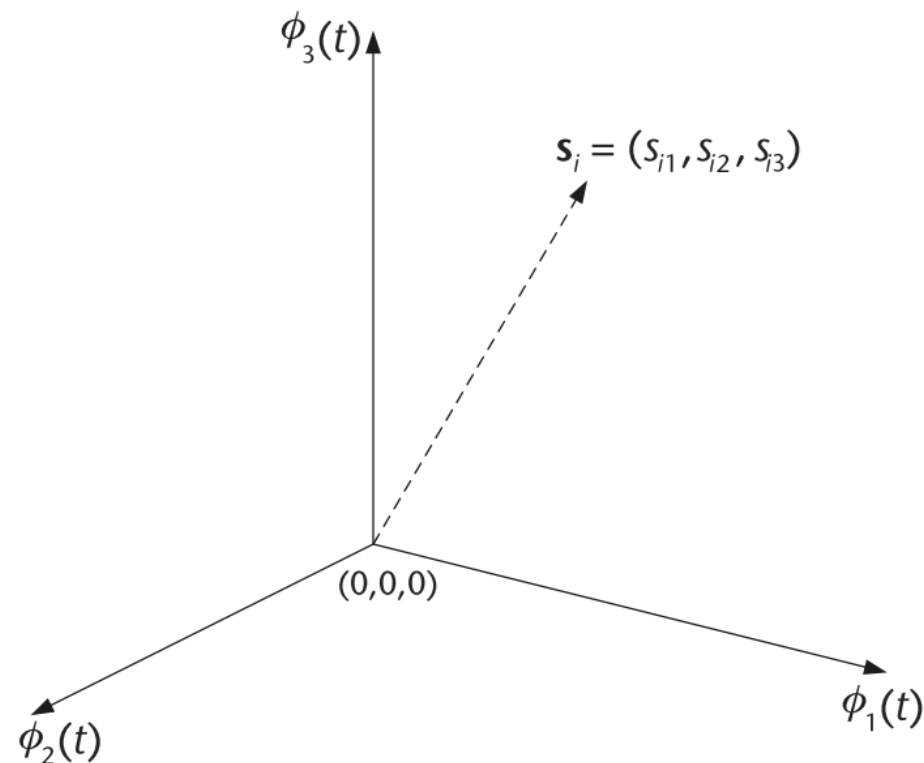
$$s_i(t) = \sum_{k=1}^N s_{ik} \phi_k(t)$$

- 因此, $s_i(t)$ 可以等效得由一个矢量表示

$$s_i(t) = (s_{i1}, s_{i2}, \dots, s_{iN})$$

- 由于信号波形可以描述为标准正交函数的加权和, 任一信号波形都可以描述为一个简单的矢量

- ✓ 这些矢量构成的空间也称为信号空间
- ✓ 信号之间运算可用线性代数进行描述



寻找正交函数：格拉姆-施密特正交化过程

□ 基 \Rightarrow 正交基 \Rightarrow 标准正交基

□ 设 $\alpha_1, \alpha_2, \dots, \alpha_r$ 为向量空间 V 的一个基

□ 第1步：初始化

✓ 取 $\beta_1 = \alpha_1$

□ 第2步：正交化

✓ $\beta_2 = \alpha_2 - \frac{[\beta_1, \alpha_2]}{[\beta_1, \beta_1]} \beta_1$

✓ $\beta_3 = \alpha_3 - \frac{[\beta_1, \alpha_3]}{[\beta_1, \beta_1]} \beta_1 - \frac{[\beta_2, \alpha_3]}{[\beta_2, \beta_2]} \beta_2$

✓ ...

✓ $\beta_r = \alpha_r - \frac{[\beta_1, \alpha_r]}{[\beta_1, \beta_1]} \beta_1 - \frac{[\beta_2, \alpha_r]}{[\beta_2, \beta_2]} \beta_2 - \dots - \frac{[\beta_{r-1}, \alpha_r]}{[\beta_{r-1}, \beta_{r-1}]} \beta_{r-1}$

□ 第3步：归一化

✓ 对 β_r 矢量归一化

示例：格拉姆-施密特正交化

□ 程序：simGSOrthogonalization.m

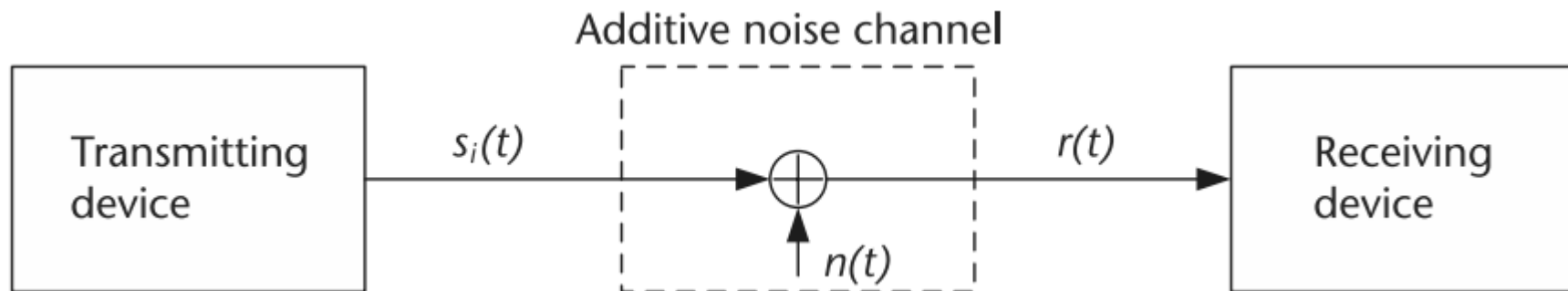
```
01. % 演示正交化过程
02.
03. A=[1 2 3; 2 1 3]';
04. B=GSOrthogonalization(A);
05. V=B'*B
```

```
V =

    1.0000    0.0000
    0.0000    1.0000
```

```
01. function b=GSOrthogonalization(a)
02. %格拉姆-施密特正交化
03. % 输入参数 a 列向量构成的输入矩阵
04. % 输出参数 b 列向量构成标准正交向量
05. [m,n] = size(a);
06. if(m<n)
07.     error('行小于列, 无法计算, 请转置后重新输入');
08.     return
09. end
10. b=zeros(m,n);
11. %正交化
12. b(:,1)=a(:,1);
13. for i=2:n
14.     for j=1:i-1
15.         b(:,i)=a(:,i)-dot(a(:,i),b(:,j))/dot(b(:,j),b(:,j))*b(:,j);
16.     end
17. end
18. %向量归一化
19. for k=1:n
20.     b(:,k)=b(:,k)/norm(b(:,k));
21. end
```

AWGN信道下数字通信的信号矢量框架



$$s_i(t) = \sum_{k=1}^N s_{ik} \phi_k(t), \quad r(t) = \sum_{k=1}^N r_k \phi_k(t), \quad n(t) = \sum_{k=1}^N n_k \phi_k(t).$$

□ AWGN信道的传输模型

$$\sum_{k=1}^N r_k \phi_k(t) = \sum_{k=1}^N s_{ik} \phi_k(t) + \sum_{k=1}^N n_k \phi_k(t)$$

$$\mathbf{r} = \mathbf{s}_i + \mathbf{n}.$$

□ 接收机的信号检测问题：给定 r , 确定发端发的是哪个 s_i

噪声的统计特性分析

- 因为 r 由确定性信号 s_i 和随机信号 n , 有必要分析 n 的特性, 其信号矢量元素可计算为

$$n_k = \int_0^T n(t) \phi_k(t) dt$$

- ✓ 由于噪声信号 $n(t)$ 是一个高斯随机变量, 积分过程是一个线性操作, 这就意味着 n_k 也是一个高斯随机变量, 噪声信号矢量是一个高斯矢量

□ 噪声信号矢量的数字特征

- ✓ 期望: $\mathbb{E}\{n_k\} = \mathbb{E}\left\{\int_0^T n(t) \phi_k(t) dt\right\} = \int_0^T \mathbb{E}\{n(t)\} \phi_k(t) dt = 0 \Rightarrow \mathbb{E}\{n\} = 0$
- ✓ 方差: $\mathbb{E}\{n_k n_l\} = \mathbb{E}\left\{\left(\int_0^T n(t) \phi_k(t) dt\right) \left(\int_0^T n(\tau) \phi_l(\tau) d\tau\right)\right\}$
- ✓ $= \mathbb{E}\left\{\int_0^T \int_0^T n(t) n(\tau) \phi_k(t) \phi_l(\tau) dt d\tau\right\} = \int_0^T \int_0^T \mathbb{E}\{n(t) n(\tau)\} \phi_k(t) \phi_l(\tau) dt d\tau$
- ✓ $= \int_0^T \int_0^T \frac{N_0}{2} \delta(t - \tau) \phi_k(t) \phi_l(\tau) dt d\tau = \frac{N_0}{2} \int_0^T \phi_k(t) \phi_l(t) dt = \frac{N_0}{2} \delta(k - l)$
- ✓ $\Rightarrow \mathbb{E}\{nn^T\} = \frac{N_0}{2} I_{N \times N}$

噪声信号矢量的概率密度函数

□ 给定期望和方差，噪声信号矢量的概率密度函数为

$$f(\mathbf{n}) = f(n_1, n_2, \dots, n_N) = \frac{1}{(2\pi\sigma^2)^{\frac{N}{2}}} \prod_{i=1}^N e^{-\frac{n_i^2}{2\sigma^2}} = \prod_{i=1}^N f(n_i)$$

$$\checkmark f(n_i) = \frac{1}{\sqrt{2\pi}\sigma} e^{-\frac{n_i^2}{2\sigma^2}}$$

$$\checkmark \mathbb{E}\{n_k^2\} = \frac{N_0}{2} = \sigma^2$$

□ 因为 $\sum_{i=1}^N n_i^2 = \|\mathbf{n}\|^2$

$$f(\mathbf{n}) = \frac{1}{(2\pi\sigma^2)^{\frac{N}{2}}} e^{-\frac{\|\mathbf{n}\|^2}{2\sigma^2}}$$

接收机的信号检测

- 衡量数字通信系统性能最常用的定量指标之一是误码率，即传输的比特被错误解码的概率
 - ✓ 在评估数字通信系统的设计是否满足所支持的应用程序(如语音、多媒体或数据)的特定误差要求时，这个指标非常重要
 - ✓ 评价系统设计或技术性能时，误码率是重要的参考标准
- 假设系统采用两个信号波形 s_1 和 s_2 ，接收机的目标是确定发射机发送的是 s_1 还是 s_2 ，最小化判断错误的概率，也即最小化误码率

$$\text{Minimize } P(\text{error}) \rightarrow P(\hat{m}_i \neq m_i)$$

$$\text{Maximize } P(\text{correct}) \rightarrow P(\hat{m}_i = m_i),$$

- ✓ 理论工具是贝叶斯检测 (Bayes Detection)

贝叶斯检测涉及的概念

□ 先验概率 (priori probability)

✓ $\{p(m_i)\}_{i=1,\dots,M}$: 发射机发送数据 m_i 的概率, 在数据通信中, 通常 $p(m_i) = \frac{1}{M}$

□ 后验概率 (posteriori probability)

✓ $\{p(s_i|r)\}_{i=1,\dots,M}$: 接收机检测检测到 r 时, 推断发射机发送的波形是 s_i 的概率

□ 条件概率密度

✓ $\{f(r|s_i)\}_{i=1,\dots,M}$: 发射机发送波形 s_i 时, 接收机检测到信号的概率密度函数

□ 检测代价

✓ $\{c_{ij}\}_{i,j \in \{0,1\}}$: 发射机实际发送数据 m_i , 判定为 m_j 的代价, 在数据传输中, $c_{00} = c_{11} = 0$, $c_{01} = c_{10} = 1$

□ 判决准则

✓ 信号空间 R 被划分成若干子空间满足 $R = \bigcup_{\forall i} R_i$ 且 $R_i \cap R_j = \emptyset \quad \forall i \neq j$

✓ 若 $r \in R_i$, 则判定发送的数据为 m_i

将最优接收机设计建模为贝叶斯检测问题

□ 检测概率

✓ $P(m_j|m_i)$: 发送数据 m_i , 判定为 m_j 的概率, 数学上可计算为

$$P(j|i) = \int_{r \in R_j} f(r|s_i) dr$$

□ 在贝叶斯的框架下, 最优接收机的检测问题可以描述为一个优化问题

$$\min_{\{R_i\}_{i=1, \dots, M}} \sum_{\forall i} p(m_i) \sum_{\forall j} c_{ij} P(m_j|m_i)$$

✓ Subject to $R = \bigcup_{\forall i} R_i$ $R_i \cap R_j = \emptyset \quad \forall i \neq j$

□ 若考虑 $M = 2$, 则问题简化为 ($m_1 = 0$; $m_2 = 1$)

$$\min_{R_1} P(1|0) + P(0|1)$$

✓ Subject to $R_1 \subset R$

✓ 注意: R_1 为判0的空间, R_2 是判1的空间

判定区域和判定准则

$$\begin{aligned}\square P(1|0) + P(0|1) &= \int_{r \in R_2} f(r|s_1) dr + \int_{r \in R_1} f(r|s_2) dr \\ &= 1 - \int_{r \in R_1} f(r|s_1) dr + \int_{r \in R_1} f(r|s_2) dr = 1 + \int_{r \in R_1} f(r|s_2) - f(r|s_1) dr\end{aligned}$$

$$\begin{aligned}\square \text{若要使得代价最小, 应选择 } R_1 \text{ 满足 } \int_{r \in R_1} f(r|s_2) - f(r|s_1) dr < 0 \\ \Rightarrow R_1 = \{r \in R | f(r|s_2) < f(r|s_1)\} \\ \Rightarrow R_2 = \{r \in R | f(r|s_2) \geq f(r|s_1)\}\end{aligned}$$

□ $M = 2$ 时的判定准则

✓ $f(r|s_2) < f(r|s_1)$: 判定发送为0

✓ $f(r|s_2) \geq f(r|s_1)$: 判定发送为1

□ M 为任意值时的判定准则

$$m_i = \arg \max_{\forall i} f(r|s_i)$$

AWGN信道的最大似然检测

□ 最大似然检测 (Maximum Likelihood Detection) 是一种流行的统计方法，用于拟合统计模型的数据，并识别模型参数

✓ 一般来说，对于一组固定的数据和潜在的概率模型，最大似然方法选择模型参数的值，使得这些值产生的分布最有可能产生观测数据(即，使似然函数最大化的参数)

□ AWGN信道的传输模型

$$r = s_i + n$$

✓ 由 n 的概率密度函数，可以推得条件概率函数为

$$f(r|s_i) = \frac{1}{(2\pi\sigma^2)^{\frac{N}{2}}} e^{-\frac{\|r-s_i\|^2}{2\sigma^2}}$$

□ 最大似然判定准则

$$\arg \max_{\forall i} f(r|s_i) \equiv \arg \max_{\forall i} \ln f(r|s_i)$$

$$= \arg \max_{\forall i} \left\{ \frac{N}{2} \ln \frac{1}{2\pi\sigma^2} - \frac{\|r-s_i\|^2}{2\sigma^2} \right\} \equiv \arg \max_{\forall i} \{-\|r-s_i\|^2\} \equiv \arg \min_{\forall i} \|r-s_i\|$$

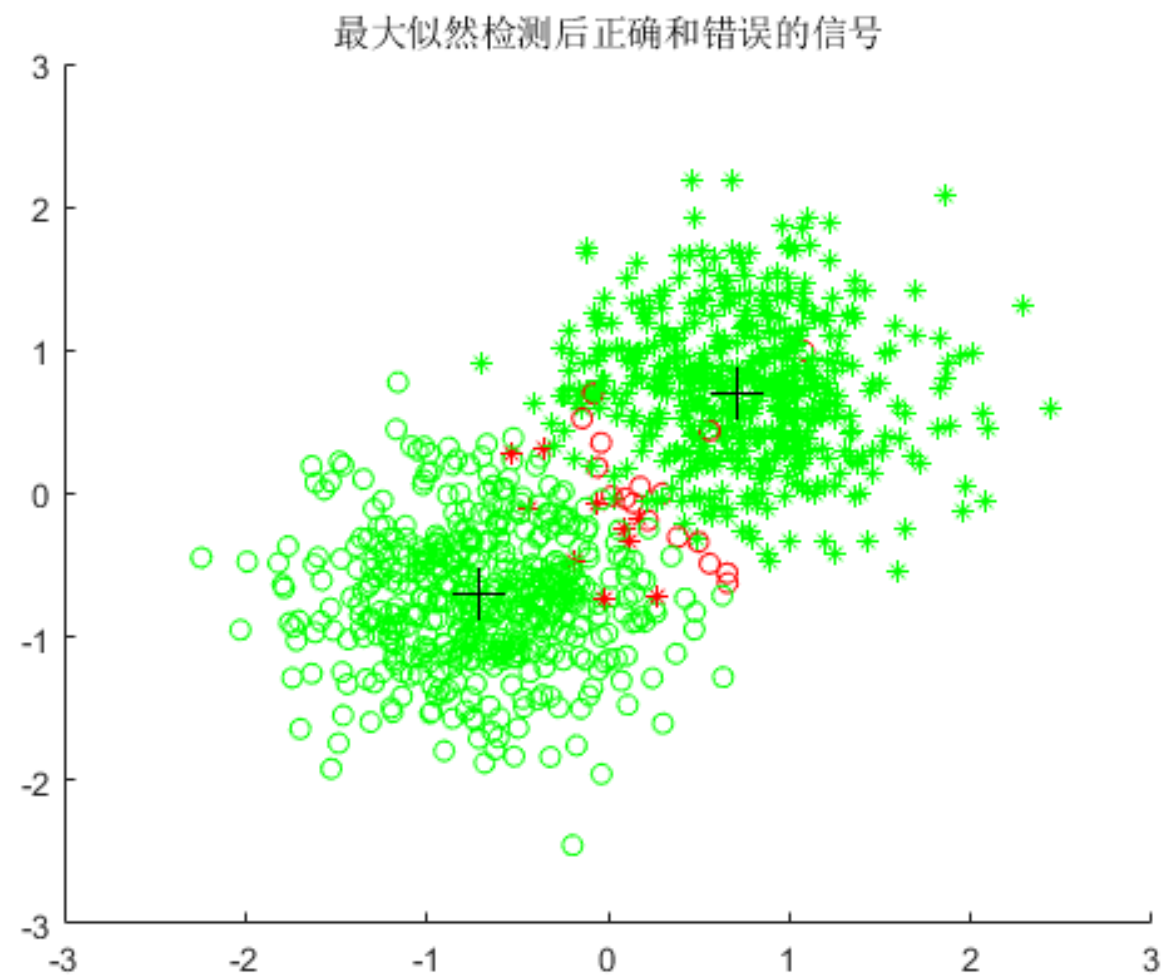
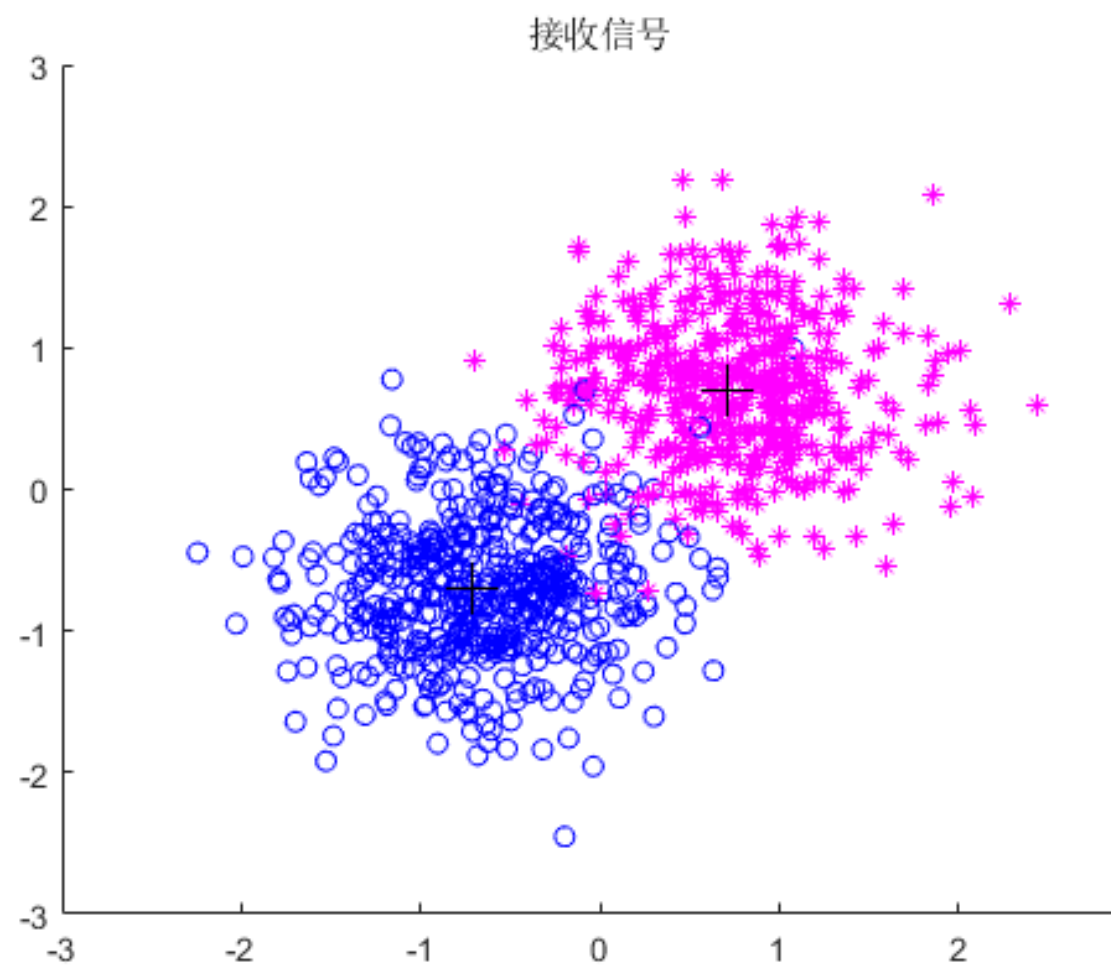
示例：最大似然检测

□ 例 考虑一个二阶传输系统，比特0和比特1分别用信号矢量 $\begin{bmatrix} -\frac{1}{\sqrt{2}}, -\frac{1}{\sqrt{2}} \end{bmatrix}^T$ 和 $\begin{bmatrix} \frac{1}{\sqrt{2}}, \frac{1}{\sqrt{2}} \end{bmatrix}^T$ 表示，假设 $N_0 = 0.5$ ，接收机使用最大似然检测。请画出接收信号矢量的分布以及误码比特的分布

✓ 程序：simMLDetection.m

```
04. N=1e3; %仿真比特数目
05. s=randi([0,1],1,N); %发送的比特流
06. x=zeros(2,N); %发送信号矢量
07. d=zeros(1,N); %检测出的比特流
08. N0=0.5; %噪声单边功率谱密度
09.
10. V(:,1)=[-1/sqrt(2);-1/sqrt(2)]; %比特0对应的信号矢量1
11. V(:,2)=[1/sqrt(2);1/sqrt(2)]; %比特1对应的信号矢量2
12.
13. % 比特映射到信号矢量 (调制)
14. for i=1:N
15.     if s(i)==0
16.         x(:,i)=V(:,1);
17.     elseif s(i)==1
18.         x(:,i)=V(:,2);
19.     end
20. end
21.
22. n = sqrt(N0/2)*randn(size(x)); %生成噪声
23. y=x+n; %信号矢量通过AWGN信道
```

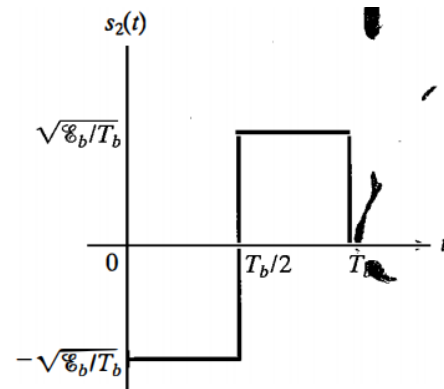
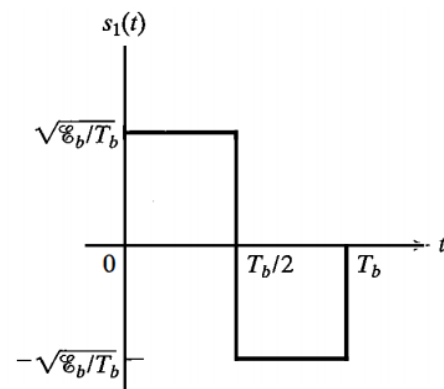
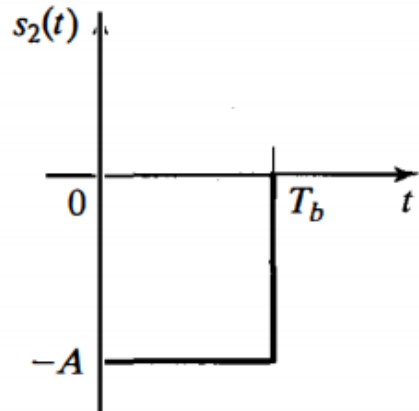
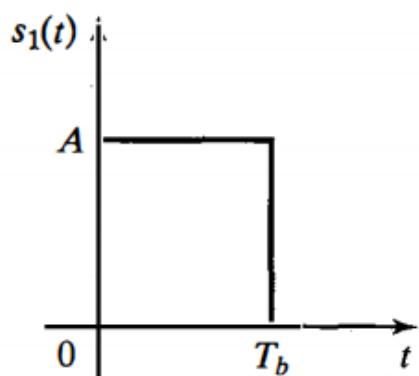
```
25. figure
26. hold on
27. for i=1:length(x)
28.     if s(i)==0
29.         plot(y(1,i),y(2,i),'bo');
30.     else
31.         plot(y(1,i),y(2,i),'m*');
32.     end
33.
34. % 最大似然检测，欧氏距离小的，作为判决比特输出
35. if sum((y(:,i)-V(:,1)).^2).^0.5<sum((y(:,i)-V(:,2)).^2).^0.5
36.     d(i)=0;
37. else
38.     d(i)=1;
39. end
40. end
41. plot(V(1,1),V(2,1),'k+',V(1,2),V(2,2),'k+', 'MarkerSize',15)
42. title('接收信号')
43. axis([-3,3,-3,3])
44. hold off
```

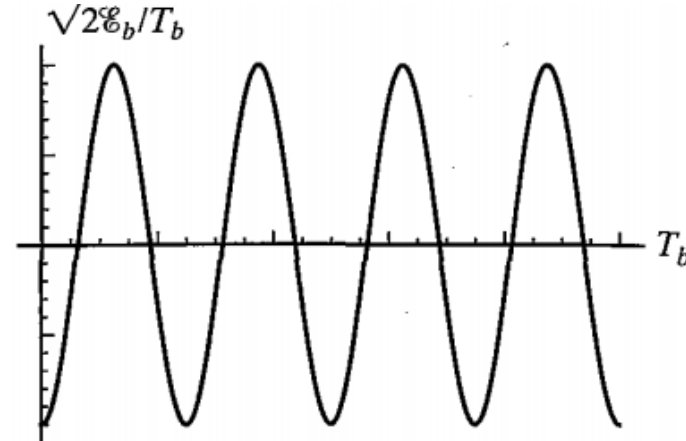
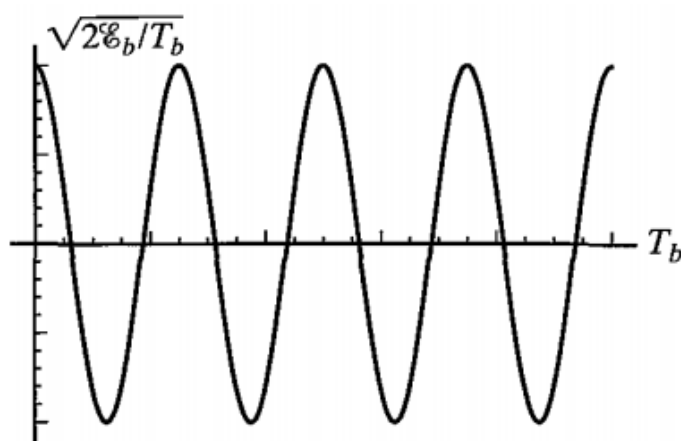
二阶调制波形——双极性信号

□ 双极性信号：信息比特1用宽度为 T_b 的波形 $p(t)$ ，信息比特0则用 $-p(t)$

✓ 2PAM: $s_m(t) = A_m p(t)$, $t \in [0, T_b)$, T_b 是比特时间间隔, $A_1 = A$, $A_2 = -A$



✓ 2ASK: $s_m(t) = A_m p(t) \cos 2\pi f_c t$ $t \in [0, T_b)$



二阶调制信号——正交信号

- 正交信号：信号 $s_1(t)$ 和 $s_2(t)$ 具有相等的能量且相互正交，也即满足

$$\int_0^{T_b} s_1^2(t) dt = \varepsilon_b \quad \int_0^{T_b} s_2^2(t) dt = \varepsilon_b \quad \int_0^{T_b} s_1(t)s_2(t) dt = 0$$

- 由于两个信号已经正交，归一化两个信号可以得到正交基函数

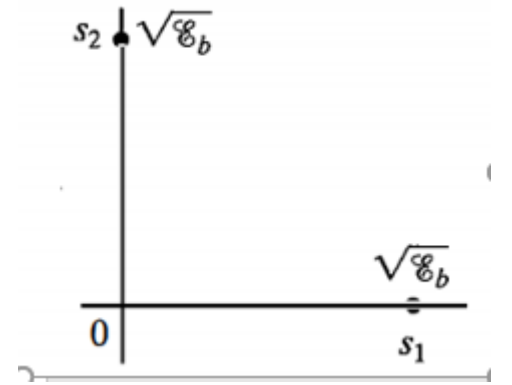
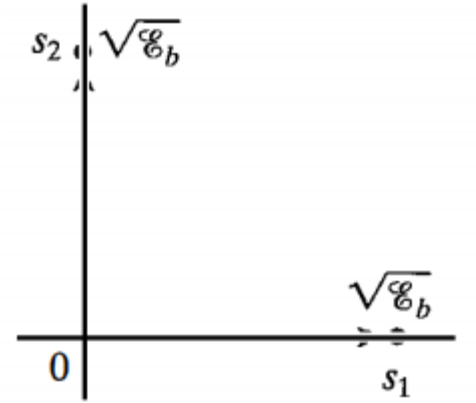
$$\psi_1(t) = \frac{s_1(t)}{\sqrt{\varepsilon_b}} \quad \psi_2(t) = \frac{s_2(t)}{\sqrt{\varepsilon_b}}$$

- 信号 $s_1(t)$ 和 $s_2(t)$ 可以写成

$$s_1(t) = \sqrt{\varepsilon_b}\psi_1(t) + 0\psi_2(t) \quad s_2(t) = 0\psi_1(t) + \sqrt{\varepsilon_b}\psi_2(t)$$

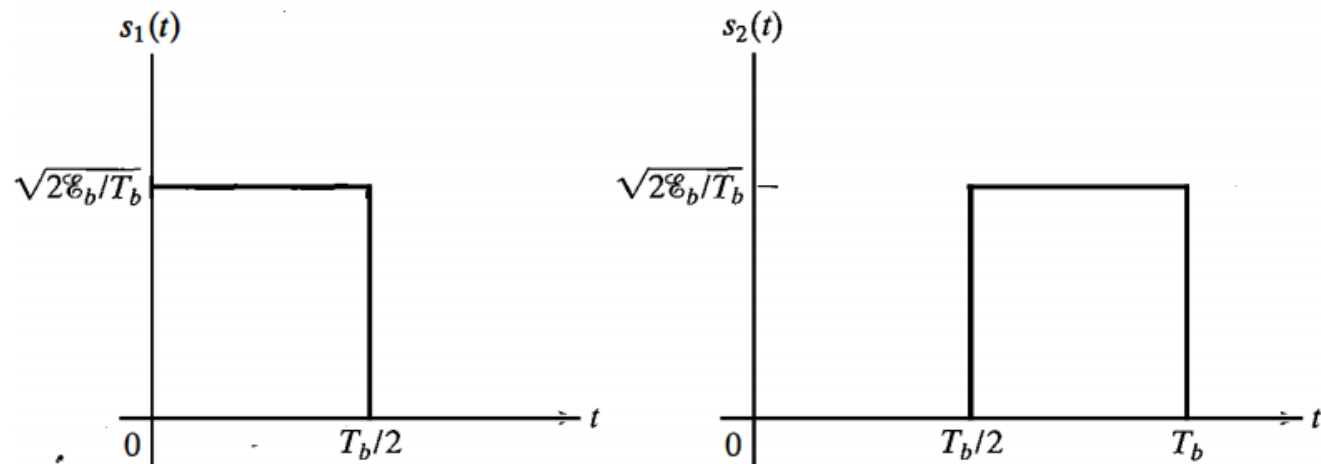
- 相应的信号矢量为

$$\mathbf{s}_1 = (\sqrt{\varepsilon_b}, 0) \quad \mathbf{s}_2 = (0, \sqrt{\varepsilon_b})$$



二阶调制信号——正交信号

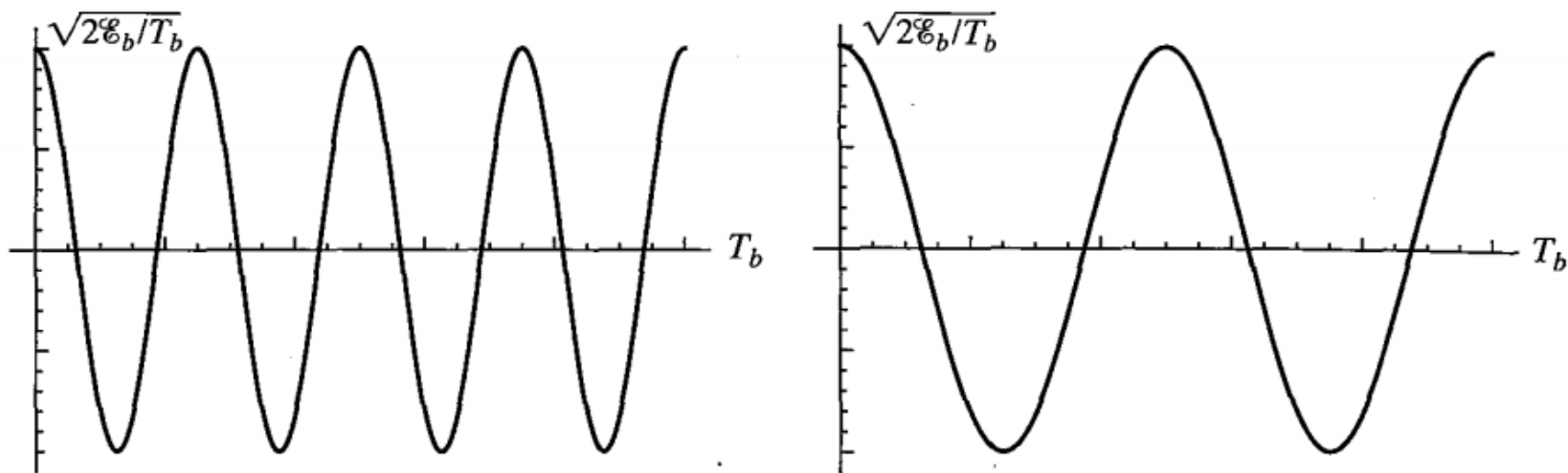
□ 二阶脉冲位置调制 (PPM)



□ 二阶频移键控 (FSK)

✓ $\psi_1(t) = \cos 2\pi f_1 t$

✓ $\psi_2(t) = \cos 2\pi f_2 t$



相关接收机——二阶双极性信号 (1)

□ 二阶双极性信号

$$s_m(t) = s_m \psi(t) \quad m = 1, 2$$

$$\checkmark \psi(t) = \frac{p(t)}{\sqrt{\mathcal{E}_b}}, s_1 = \sqrt{\mathcal{E}_b}, s_2 = -\sqrt{\mathcal{E}_b}$$

□ 接收信号为

$$r(t) = s_m \psi(t) + n(t) \quad t \in [0, T_b)$$

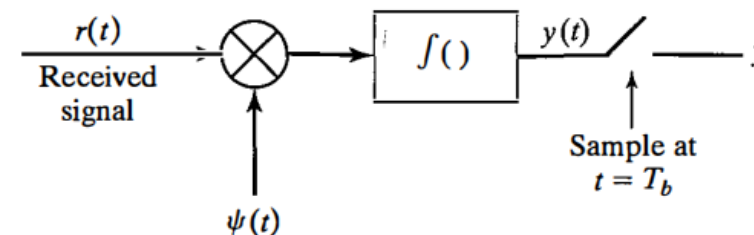
□ 相关接收机将接收信号 $r(t)$ 与波形 $\psi(t)$ 相乘, 并在 $t \in [0, T_b)$ 上积分, 得到 $r(t)$ 与 $\psi(t)$ 的互相关

$$y(t) = \int_0^t r(t) \psi(t) dt = s_m \int_0^t \psi^2(t) dt + \int_0^t n(t) \psi(t) dt$$

✓ 在 $t = T_b$ 时刻对相关输出进行采样, 得到

$$y(T_b) = s_m + n$$

✓ 其中, $n = \int_0^{T_b} n(t) \psi(t) dt$



相关接收机——二阶双极性信号 (2)

□ 注意: n 是零均值, 方差为

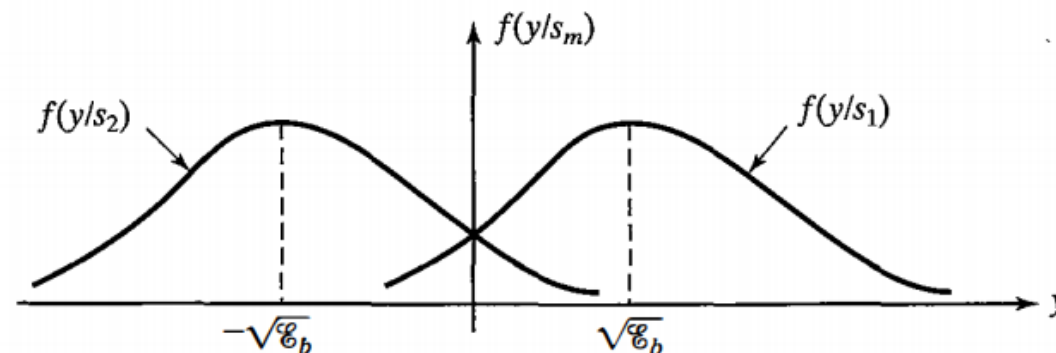
$$\checkmark \sigma^2 = \mathbb{E}\{n^2\} = \mathbb{E}\left\{\int_0^{T_b} \int_0^{T_b} n(t)n(\tau)\psi(t)\psi(\tau)d\tau dt\right\}$$

$$\checkmark = \int_0^{T_b} \int_0^{T_b} \mathbb{E}\{n(t)n(\tau)\}\psi(t)\psi(\tau)d\tau dt$$

$$\checkmark = \int_0^{T_b} \int_0^{T_b} \frac{N_0}{2} \delta(t - \tau)\psi(t)\psi(\tau)d\tau dt = \frac{N_0}{2} \int_0^{T_b} \psi^2(t)dt = \frac{N_0}{2}$$

□ 因此, $y = y(T_b)$ 是均值为 s_m , 方差为 $\frac{N_0}{2}$ 的高斯随机变量

$$f(r|s_i) = \frac{1}{\sqrt{\pi N_0}} e^{-\frac{(y-s_m)^2}{N_0}}$$



相关接收机——二阶双极性信号 (3)

□ 平均错误概率是阈值 α 的函数

$$P_E(\alpha) = P(s_1) \int_{-\infty}^{\alpha} f(y|s_1) dy + P(s_2) \int_{\alpha}^{+\infty} f(y|s_2) dy$$

$$\checkmark \min_{\alpha} P_E(\alpha) \Rightarrow \frac{\partial P_E(\alpha)}{\partial \alpha} = 0 \Rightarrow P(s_1)f(\alpha|s_1) - P(s_2)f(\alpha|s_2) = 0 \Rightarrow \frac{P(s_2)}{P(s_1)} = \frac{f(\alpha|s_1)}{f(\alpha|s_2)} \Rightarrow$$

$$\frac{P(s_2)}{P(s_1)} = e^{\frac{4\alpha\sqrt{\mathcal{E}_b}}{N_0}} \Rightarrow \alpha^* = \frac{N_0}{4\sqrt{\mathcal{E}_b}} \ln \frac{P(s_2)}{P(s_1)}$$

$$\checkmark P(s_1) = P(s_2) = \frac{1}{2} \Rightarrow \alpha^* = 0$$

□ 最优阈值 α 下的平均错误概率

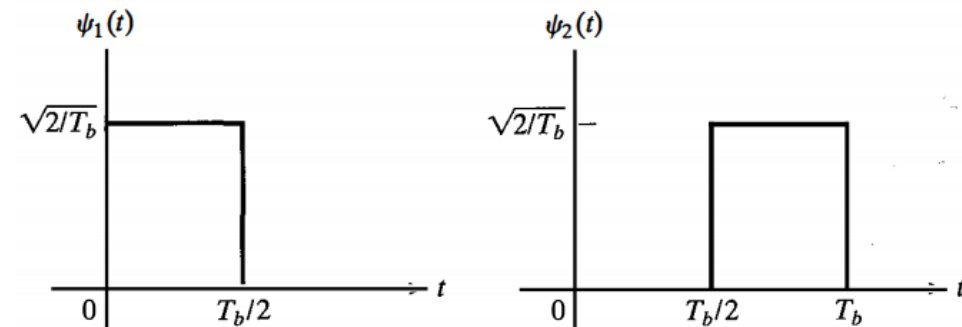
$$\begin{aligned} P_E &= \frac{1}{2} \int_{-\infty}^0 f(y|s_1) dy + \frac{1}{2} \int_0^{+\infty} f(y|s_2) dy = \frac{1}{2} \int_{-\infty}^0 f(y|s_1) dy = \int_{-\infty}^0 \frac{1}{\sqrt{\pi N_0}} e^{-\frac{(y-\sqrt{\mathcal{E}_b})^2}{N_0}} dy \\ &= \frac{1}{\sqrt{2\pi}} \int_{-\infty}^{-\sqrt{2\mathcal{E}_b}/N_0} e^{-\frac{x^2}{2}} dx = Q\left(\sqrt{2\mathcal{E}_b}/N_0\right) \end{aligned}$$

$$\checkmark Q(x) = \frac{1}{\sqrt{2\pi}} \int_{-\infty}^{-x} e^{-\frac{x^2}{2}} dx$$

相关接收机——二阶正交信号 (1)

□ 二阶正交信号波形

- ✓ $s_1(t) = s_{11}\psi_1(t) + s_{12}\psi_2(t)$
- ✓ $s_2(t) = s_{21}\psi_1(t) + s_{22}\psi_2(t)$
- ✓ $s_{11} = s_{22} = \sqrt{\mathcal{E}_b}, s_{12} = s_{21} = 0$



□ 接收信号为

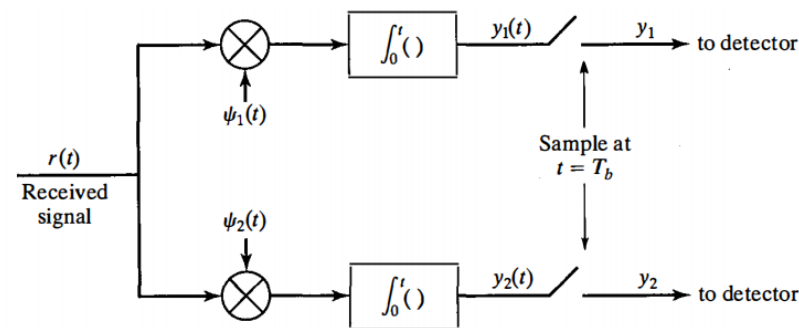
$$r(t) = s_m(t) + n(t) \quad t \in [0, T_b]$$

- 由于发送信号是二维的，相关接收机将 $r(t)$ 分别与两个基信号波形 $\psi_1(t)$ 和 $\psi_2(t)$ 进行相关，输出波形为

$$y_m(t) = \int_0^t r(t)\psi_m(t) dt$$

- ✓ 在 $t = T_b$ 时刻对相关输出进行采样，得到

$$y(T_b) = \int_0^{T_b} r(t)\psi_m(t) dt$$



相关接收机——二阶正交信号 (2)

□ 假设发送信号为 $s_1(t) = s_{11}\psi_1(t)$, 则 $r(t) = s_{11}\psi_1(t) + n(t)$

✓ 第1个相关器输出: $y_1 = \int_0^{T_b} r(t)\psi_1(t) dt = s_{11} + n_1 = \sqrt{\mathcal{E}_b} + n_1$

✓ 第2个相关器输出: $y_2 = \int_0^{T_b} r(t)\psi_2(t) dt = s_{12} + n_2 = n_2$

✓ $n_1 = \int_0^{T_b} n(t)\psi_1(t) dt$ $n_2 = \int_0^{T_b} n(t)\psi_2(t) dt$

✓ 接收信号矢量为 $y = (y_1, y_2) = (\sqrt{\mathcal{E}_b} + n_1, n_2)$

□ 相关器输出分量 (y_1, y_2) 的条件联合概率密度函数为

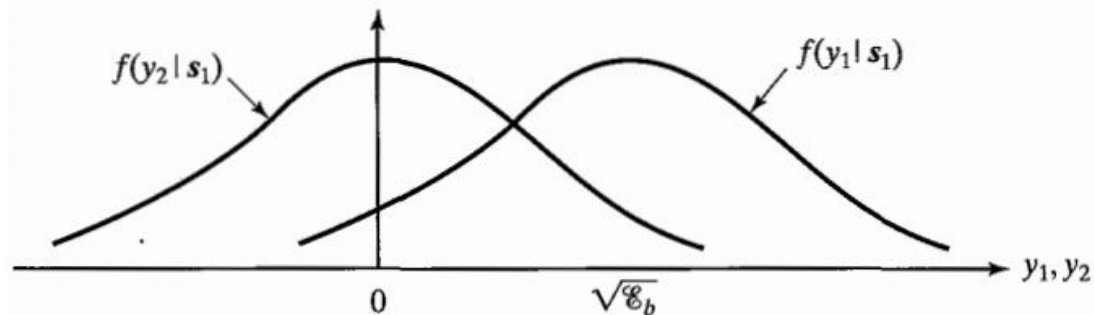
$$f(y_1, y_2 | s_1) = \frac{1}{\pi N_0} e^{-\frac{(y_1 - \sqrt{\mathcal{E}_b})^2}{N_0}} e^{-\frac{y_2^2}{N_0}}$$

□ 类似地, 当发送信号为 $s_2(t) = s_{22}\psi_2(t)$, 输出分量 (y_1, y_2) 的条件联合概率密度函数为

$$f(y_1, y_2 | s_2) = \frac{1}{\pi N_0} e^{-\frac{y_1^2}{N_0}} e^{-\frac{(y_2 - \sqrt{\mathcal{E}_b})^2}{N_0}}$$

相关接收机——二阶正交信号 (3)

□ 发送信号为 $s_1(t)$ 时的概率密度函数



□ 判决方式：由于两个正交信号等概率，则可以直接比较 y_1 和 y_2 ，给出判决结果

✓ $y_1 > y_2$ ：判为 $s_1(t)$

✓ $y_1 \leq y_2$ ：判为 $s_2(t)$

□ 平均错误概率

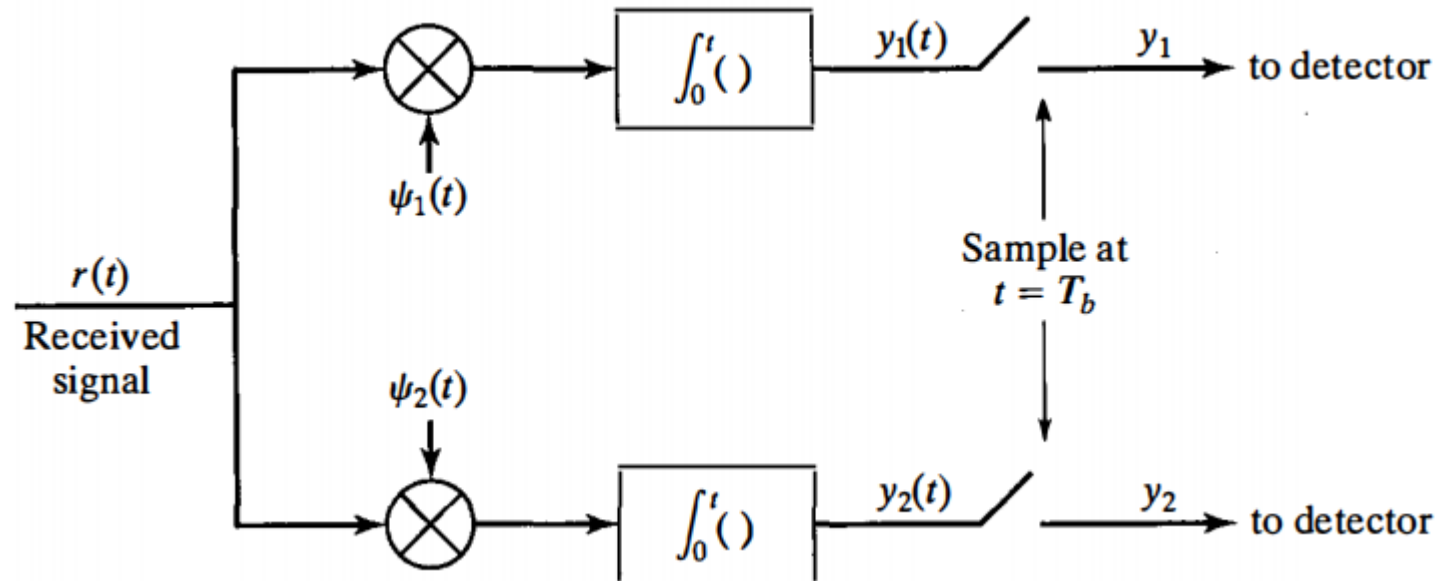
✓ 发送信号为 $s_1(t)$ ，则 $z = y_1 - y_2 = \sqrt{\mathcal{E}_b} + n_1 - n_2 \sim N(\sqrt{\mathcal{E}_b}, N_0)$

✓ $P_E = P(z < 0) = \int_{-\infty}^{-\sqrt{\mathcal{E}_b/N_0}} \frac{1}{\sqrt{2\pi}} e^{-\frac{x^2}{N_0}} dx = Q(\sqrt{\mathcal{E}_b/N_0})$

相关接收机的等效判决方法

- 前述基于门限的判决方法比较适用于二阶调制，对高阶调制过于麻烦
- 最大似然判定准则（一般化）

$$\begin{aligned} \arg \max_{\forall i} f(r|s_i) &\equiv \arg \min_{\forall i} \|r - s_i\| \\ &= \arg \min_{\forall i} \sqrt{\|r\|^2 - 2rs_i^* + \|s_i\|^2} \\ &\equiv \arg \min_{\forall i} \{-2rs_i^*\} = \arg \max_{\forall i} \{rs_i^*\} \end{aligned}$$



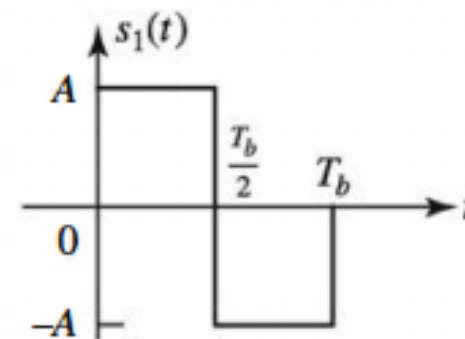
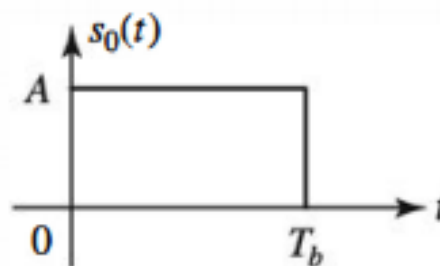
相关后，那一路输出最大，就判为哪个

示例：相关接收机的输出波形（1）

- 例：假设信号波形 $s_0(t)$ 和 $s_1(t)$ 如图所示，并设 $s_0(t)$ 是已发送信号，那么已接收信号是：

$$r(t) = s_0(t) + n(t) \quad 0 \leq t \leq T_b$$

求在采样瞬时的相关器的输出



示例：相关接收机的输出波形（2）

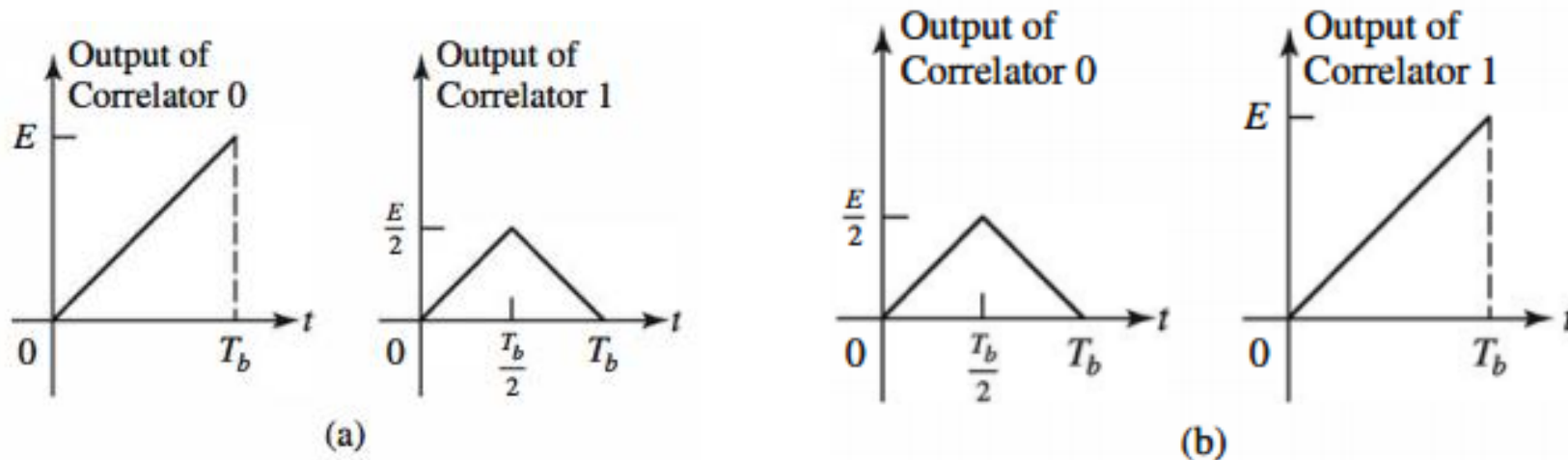
□ 采样瞬间 $t = T_b$ 时

$$r_0 = \int_0^{T_b} r(t)s_0(t)dt = \int_0^{T_b} s_0(t)s_0(t)dt + \int_0^{T_b} n(t)s_0(t)dt = E + n_1$$
$$r_1 = \int_0^{T_b} r(t)s_1(t)dt = \int_0^{T_b} s_0(t)s_1(t)dt + \int_0^{T_b} n(t)s_1(t)dt = n_1$$

$$n_0 = \int_0^{T_b} n(t)s_0(t)dt \quad n_1 = \int_0^{T_b} n(t)s_1(t)dt \quad E = A^2 T_b$$

□ 同理可得，当 $s_1(t)$ 是已发送信号时，信号相关器的输出是： $r_0 = n_0$; $r_1 = E + n_1$

□ 无噪声的输出为

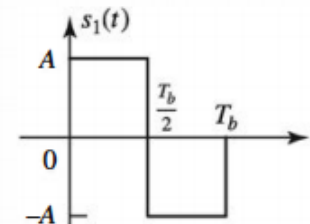
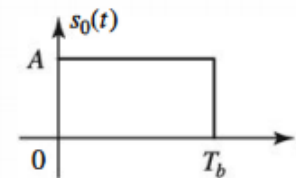


示例：相关接收机的输出波形（3）

- 对前例中的信号波形以 $F_s = 20/T_b$ (采样间隔 $T_s = T_b/20$)的速率进行采样, 并且数值上用 $s_0(t)$ 和 $s_1(t)$ 对 $r(t)$ 进行相关, 画出

$$r_0(kT_s) = \sum_{n=1}^k r(nT_s) s_0(nT_s), \quad k = 1, 2, \dots, 20$$

$$r_1(kT_s) = \sum_{n=1}^k r(nT_s) s_1(nT_s), \quad k = 1, 2, \dots, 20$$



- 当信号样本 $r(kT_s)$ 被假性高斯白噪声样本 $n(kT_s)$ 污染时, 重复上述计算和画图过程。

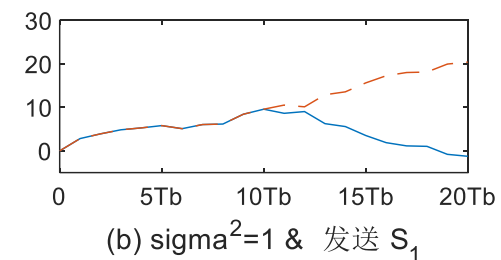
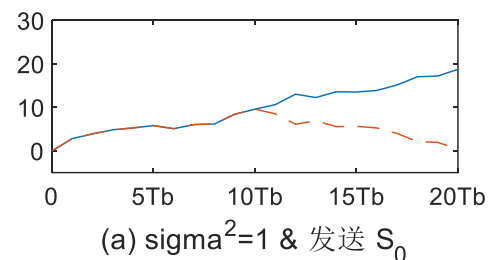
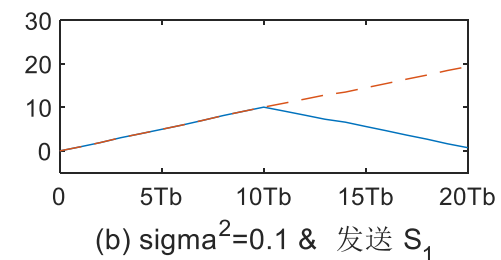
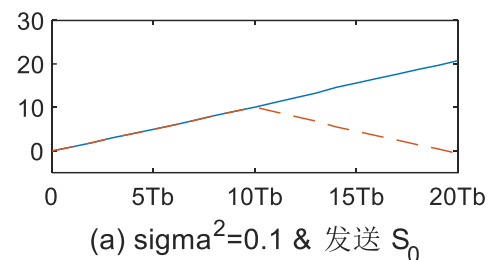
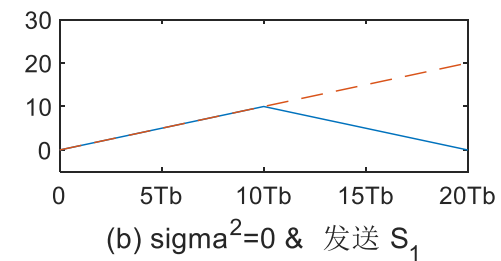
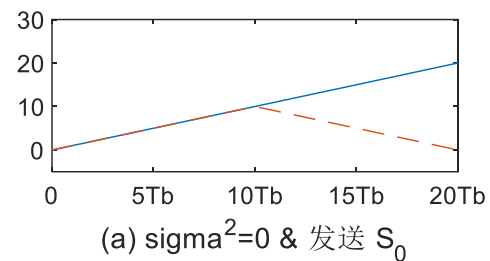
✓ 程序: `simCorrelation.m`

```
02. % 初始化
03. K=20; % 采样数目
04. A=1; % 信号幅度
05. t=0:K;
06.
07. % 定义信号波形
08. s_0=A*ones(1,K);
09. s_1=[A*ones(1,K/2) -A*ones(1,K/2)];
10.
11. % 初始化输出波形
12. r_0=zeros(1,K);
13. r_1=zeros(1,K);
14.
15. sigma=[0,0.1,1];%噪声功率
```

示例：相关接收机的输出波形（4）

□ Ex11correlation.m

```
17. for i=1:3
18.     noise=random('Normal',0,sigma(i),1,K);
19.     s=s_0;
20.     r=s+noise; % 接收信号
21.     for n=1:K
22.         r_0(n)=sum(r(1:n).*s_0(1:n));
23.         r_1(n)=sum(r(1:n).*s_1(1:n));
24.     end
25.
26.     subplot(3,2,(i-1)*2+1)
27.     plot(t,[0 r_0],'-',t,[0 r_1], '--')
28.     set(gca,'XTickLabel',{ '0','5Tb','10Tb','15Tb','20Tb'})
29.     axis([0 20 -5 30])
30.     ss=strcat('(a) sigma^2=', num2str(sigma(i)), ' & 发送 S_{0}');
31.     xlabel(ss,'fontsize',10)
32.
33.     s=s_1;
34.     r=s+noise; % 接收信号
35.     for n=1:K
36.         r_0(n)=sum(r(1:n).*s_0(1:n));
37.         r_1(n)=sum(r(1:n).*s_1(1:n));
38.     end
39.
40.     subplot(3,2,(i-1)*2+2)
41.     plot(t,[0 r_0],'-',t,[0 r_1], '--')
42.     set(gca,'XTickLabel',{ '0','5Tb','10Tb','15Tb','20Tb'})
43.     axis([0 20 -5 30])
44.     ss=strcat('(b) sigma^2=', num2str(sigma(i)), ' & 发送 S_{1}');
45.     xlabel(ss,'fontsize',10)
46. end
```



示例：相关接收机的BER性能

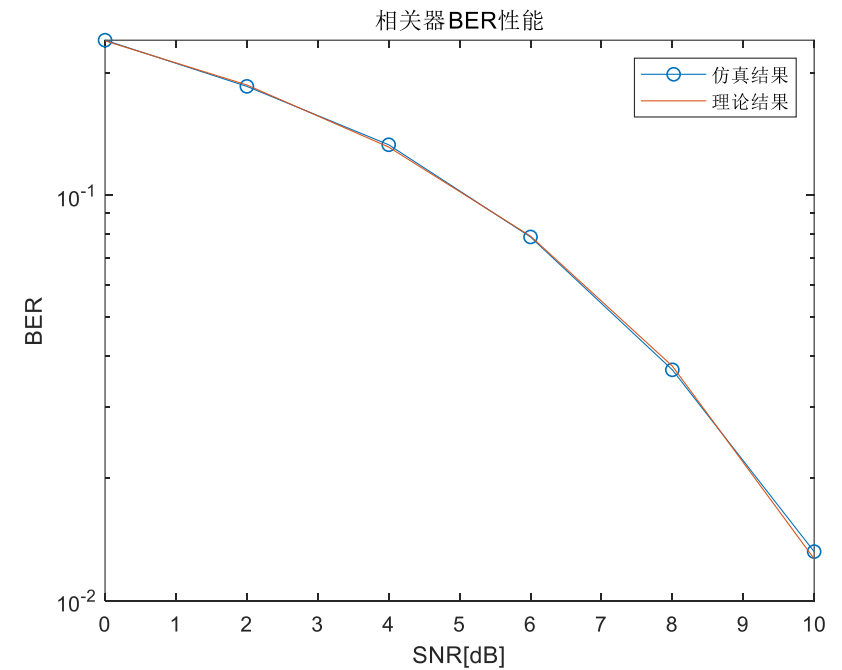
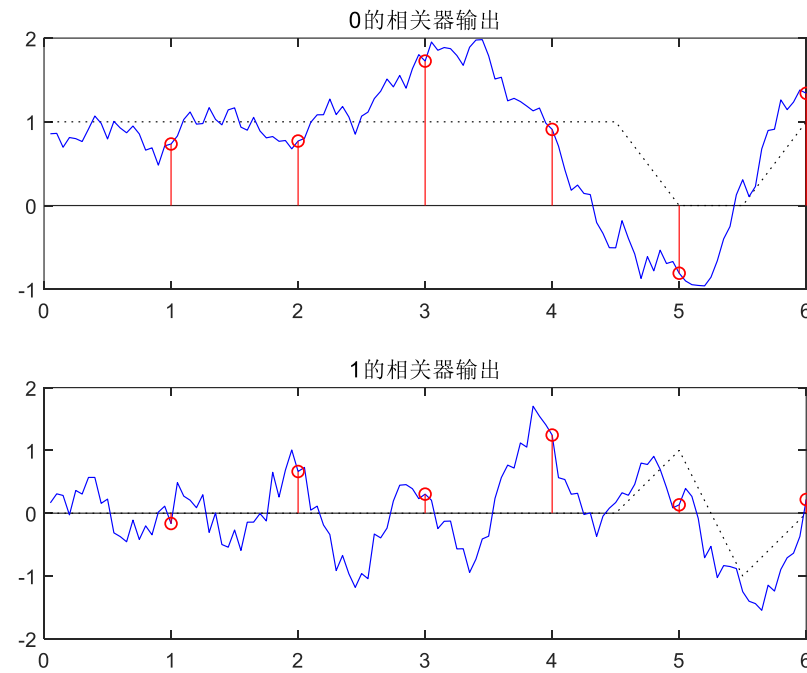
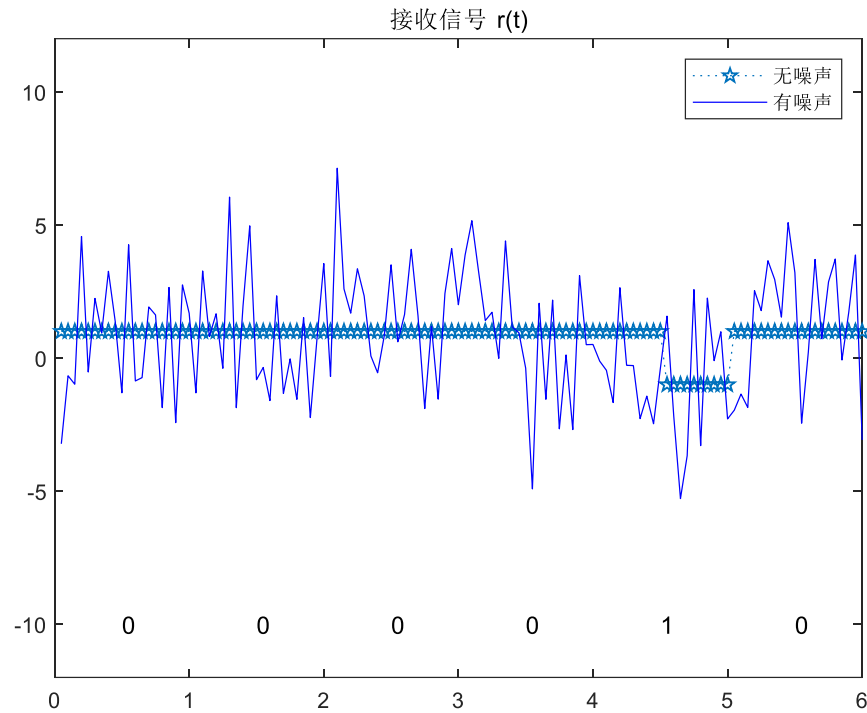
□ 程序：simCorrelatedDetector.m

```
01. % 相关接收机的仿真实现
02. function [sBer,tBer]=simCorrelatedDetector(SNRdB,Nsym)
03. % SNR    信噪比dB值
04. % Nsym   仿真符号数
05. % sBer   仿真统计BER
06. % tBer   理论计算BER
07.
08. if nargin == 0 %无输入参数, 默认展示
09.     clear, close all;
10.     SNRdB=6;
11.     Nsym=1e5;
12. elseif nargin == 1
13.     Nsym=1e5;
14. end
15.
16. rng default
17.
18. Tsym=1;                %符号周期
19. Nsam=20;               %采样倍数
20. Tsam=Tsym/Nsam;        %采样周期
21.
22. L=6;                   %保存L个符号波形, 用于展示
23. LB=L*Nsam;             %保存的波形矢量长度
24.
25. sw(1,:)=ones(1,Nsam);  % 信号波形
26. sw(2,:)=[ones(1,Nsam/2), -ones(1,Nsam/2)];
27.
28.
29. %计算波形能量
30. E1=sum(sw(1,:).^2.*Tsam);
31. E2=sum(sw(2,:).^2.*Tsam);
32. Esym=(E1+E2)/2;
```

```
34. sBer=[];
35. tBer=[];
36. for SNR=10.^(SNRdB/10)
37.     N0=2*Esym/SNR;      %单边功率谱密度
38.     halfN0=N0/2;       %双边功率谱密度
39.     sigma_sT=sqrt(halfN0/Tsam); %噪声功率, 标准方差
40.
41.     st= zeros(1,LB);
42.     r= zeros(1,LB);
43.     y= zeros(2,LB); %输出波形: 无噪声影响
44.     yr= zeros(2,LB); %输出波形: 有噪声影响
45.
46.     s=zeros(1,Nsym);
47.     d=zeros(1,Nsym); %检测出的数据
48.
49.     for n=1:Nsym
50.         s(n)=randi([0,1]);
51.         i=s(n)+1; %0,对应1的波形; 1, 对应2的波形
52.         for m=1:Nsam
53.             t=sw(i,m);
54.             tn=t+sigma_sT*randn;
55.             st=[st(2:LB) t]; % 发送信号波形
56.             r=[r(2:LB) tn]; % 被噪声影响的接收信号波形
57.
58.             if size(SNRdB,2)==1
59.                 yy(1,:)=sw(1,:)*st(LB-Nsam+1:LB)';
60.                 yy(2,:)=sw(2,:)*st(LB-Nsam+1:LB)';
61.                 y=[y(:,2:LB) yy.*Tsam];
62.             end
63.
64.             yyn(1,:)=sw(1,:)*r(LB-Nsam+1:LB)';
65.             yyn(2,:)=sw(2,:)*r(LB-Nsam+1:LB)';
66.             yr=[yr(:,2:LB) yyn.*Tsam];
67.         end
68.         % 检测器(ML检测)
69.         d(n)=(yr(2,end)>yr(1,end));
70.     end
71.     sBer=[sBer sum(s~=d)/Nsym];
72.     tBer=[tBer qfn(sqrt(Esym/N0))];
73. end
```


仿真结果

□ `simCorrelatedDetector.m`



□ `[a,b]=simCorrelatedDetector (0:2:10)`

匹配滤波器接收机

□ 二阶双极性信号

$$r(t) = s_m \psi(t) + n \quad m = 1, 2$$

✓ 通过一个线性时变滤波器，其冲激响应为

$$h(t) = \psi(T_b - t) \quad t \in [0, T_b)$$

✓ 滤波器在 $t = T_b$ 时刻对滤波器输出抽样可得

$$y(T_b) = \int_0^{T_b} r(t) h(T_b - t) dt$$

✓ 由于 $h(T_b - t) = \psi(t)$ ，有

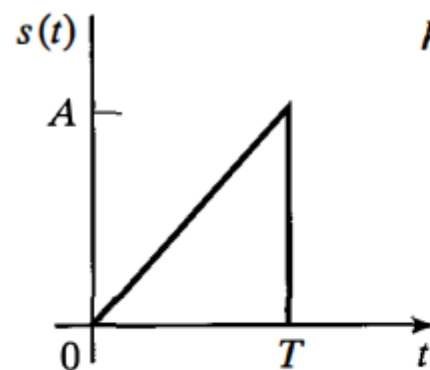
$$y(T_b) = \int_0^{T_b} [s_m \psi(t) + n] \psi(t) dt = s_m + n$$

□ 二阶正交信号

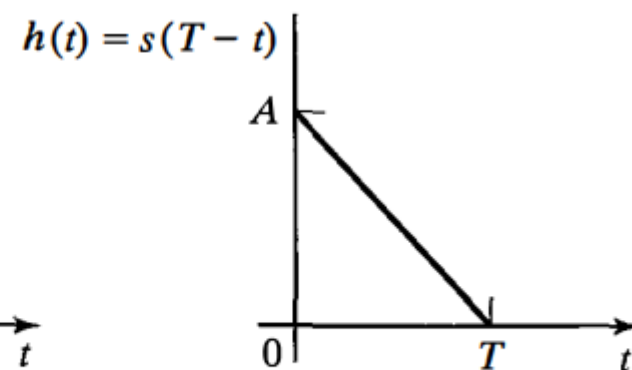
$$r(t) = s_m(t) + n(t)$$

✓ 分别通过两个线性时变滤波器，其冲激响应为

$$h_m(t) = \psi_m(T_b - t) \quad t \in [0, T_b) \quad m = 1, 2$$



(a) Signal $s(t)$

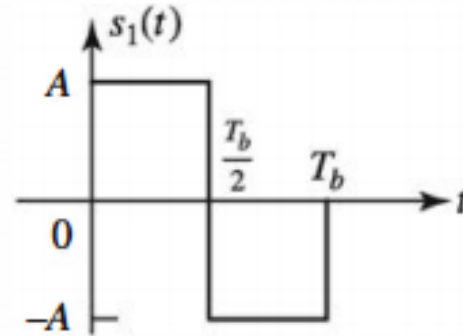
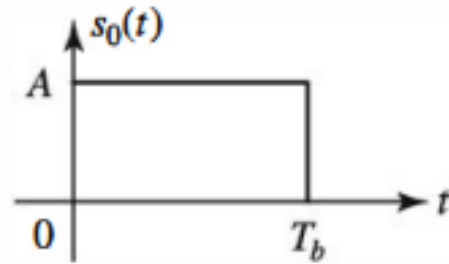


(b) Impulse response of filter matched to $s(t)$

匹配滤波器接收机性能
与相关接收机性能一样

示例：匹配滤波器的输出波形(1)

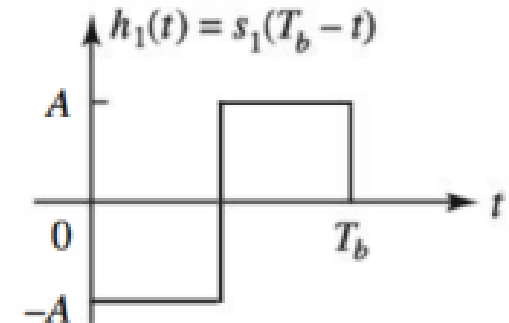
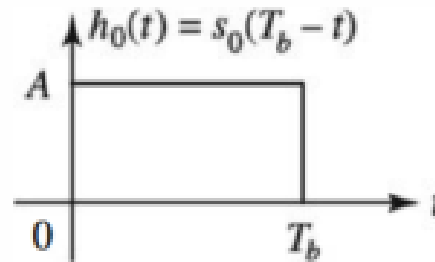
- 考虑用匹配滤波器对下面两个信号波形进行解调，并求信号所对应匹配滤波器



- 定义：匹配滤波器的冲激响应为 $h(t) = s(T_b - t)$, $0 \leq t \leq T_b$
 - ✓ 两个匹配滤波器冲击响应为

$$h_0(t) = s_0(T_b - t)$$

$$h_1(t) = s_1(T_b - t)$$



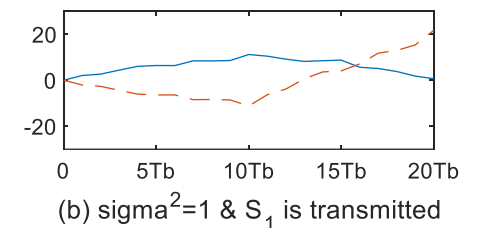
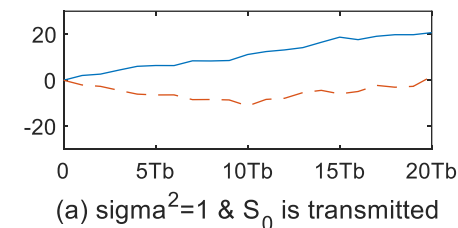
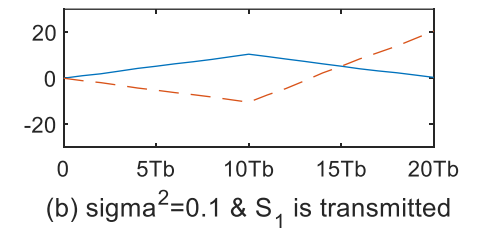
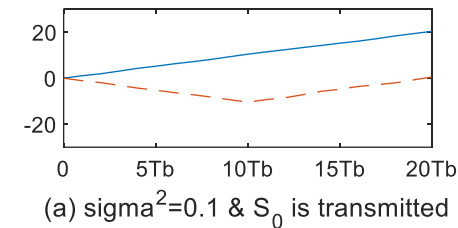
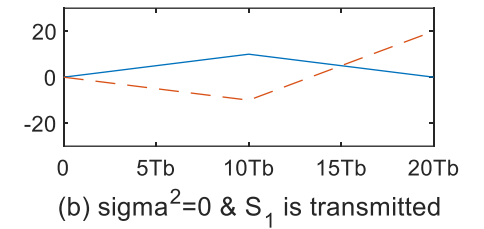
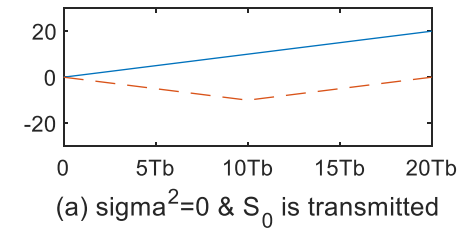
示例：匹配滤波器的输出波形(2)

- 对 上例中的信号波形以 $F_s = 20/T_b$ (采样间隔 $T_s = T_b/20$) 的速率进行采样, 并且数值上用 $s_0(t)$ 和 $s_1(t)$ 对 $r(t)$ 进行相关, 画出

$$y_0(kT_s) = \sum_{n=1}^k r(nT_s) s_0(kT_s - nT_s), \quad k = 1, 2, \dots, 20$$
$$y_1(kT_s) = \sum_{n=1}^k r(nT_s) s_1(kT_s - nT_s), \quad k = 1, 2, \dots, 20$$

- 当信号样本 $r(kT_s)$ 被加性高斯白噪声样本 $n(kT_s)$ 污染时, 重复上述计算和画图过程

- 程序: `simMatchedFilter.m`



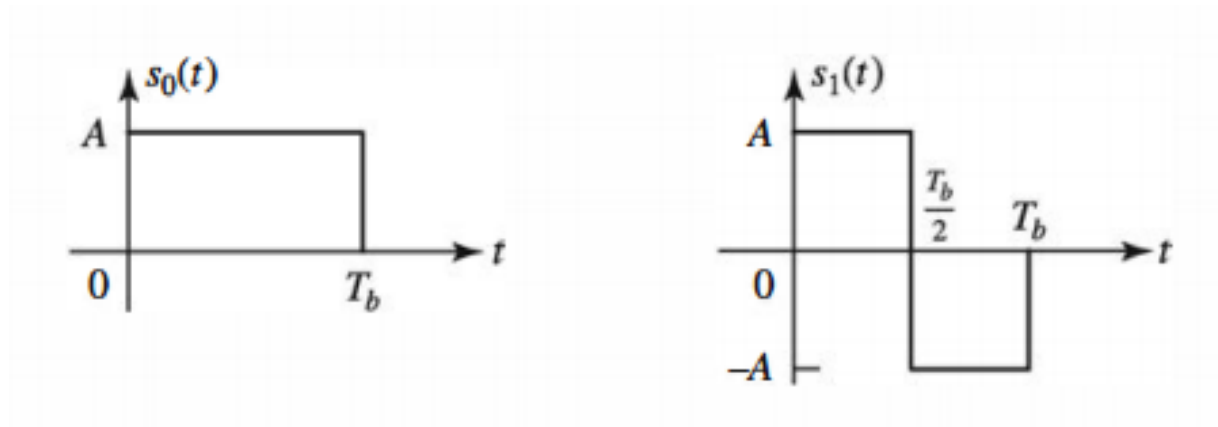
示例：匹配滤波器的输出波形(3)

```
02. % 初始化
03. K=20;      % 采样数目
04. A=1;       % 信号幅度
05. l=0:K;
06.
07. % 定义信号波形
08. s_0=A*ones(1,K);
09. s_1=[A*ones(1,K/2) -A*ones(1,K/2)];
10. % 初始化输出信号
11. y_0=zeros(1,K);
12. y_1=zeros(1,K);
13.
14. sigma=[0,0.1,1];%噪声功率
```

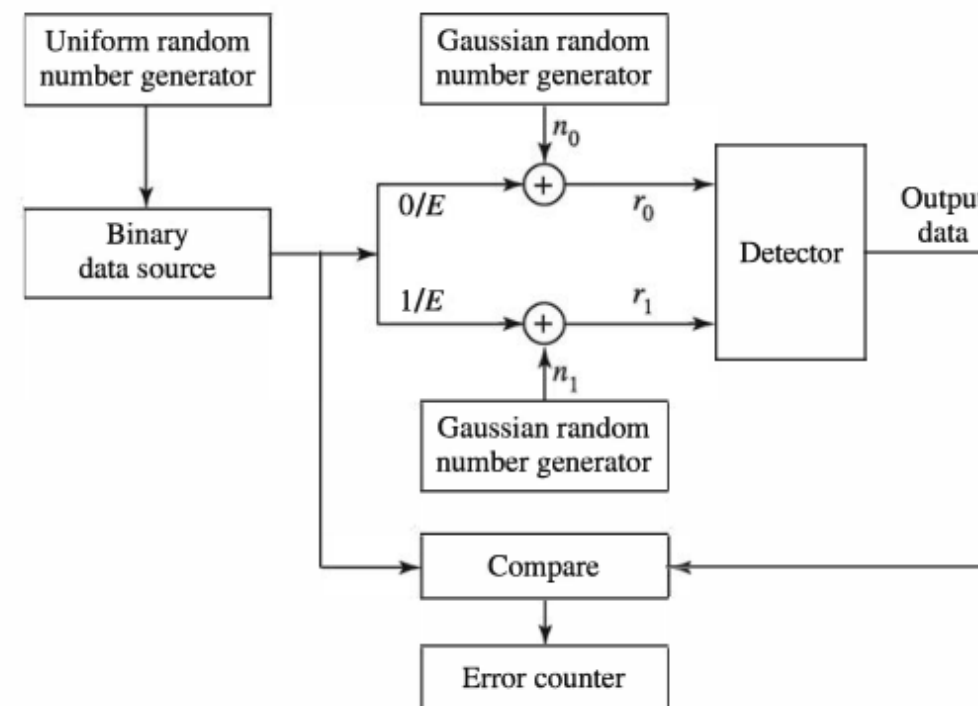
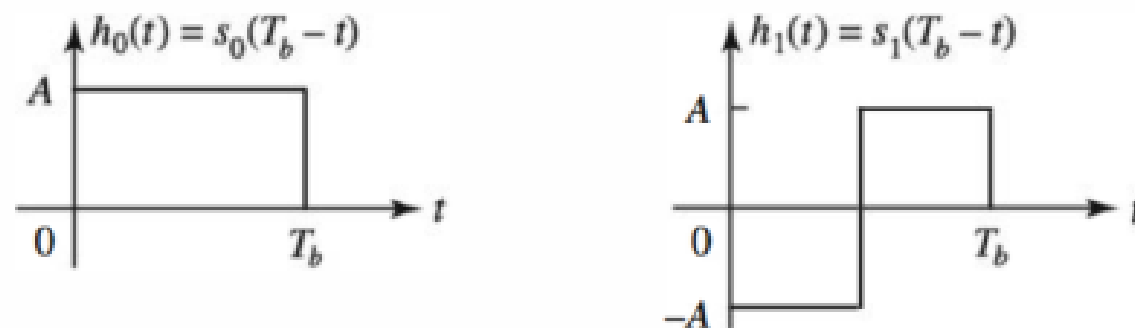
```
16. for i=1:3
17.     noise=random('Normal',0,sigma(i),1,K);
18.     s=s_0;
19.     y=s+noise; % 接收信号
20.
21.     y_0=conv(y,flip1r(s_0));
22.     y_1=conv(y,flip1r(s_1));
23.
24.     subplot(3,2,(i-1)*2+1)
25.     plot(1,[0 y_0(1:K)],'-',1,[0 y_1(1:K)],'--')
26.     set(gca,'XTickLabel',{'0','5Tb','10Tb','15Tb','20Tb'})
27.     axis([0 20 -30 30])
28.     ss=strcat('(a) sigma^2=', num2str(sigma(i)), ' & 发送 S_{0}');
29.     xlabel(ss,'fontsize',10)
30.     % s = s_1:
31.     s=s_1;
32.     y=s+noise; % 接收信号
33.     y_0=conv(y,flip1r(s_0));
34.     y_1=conv(y,flip1r(s_1));
35.
36.     subplot(3,2,(i-1)*2+2)
37.     plot(1,[0 y_0(1:K)],'-',1,[0 y_1(1:K)],'--')
38.     set(gca,'XTickLabel',{'0','5Tb','10Tb','15Tb','20Tb'})
39.     axis([0 20 -30 30])
40.     ss=strcat('(b) sigma^2=', num2str(sigma(i)), ' & 发送 S_{1}');
41.     xlabel(ss,'fontsize',10)
42. end
```

示例：匹配滤波器的BER性能

□ 信号波形



□ 匹配滤波器



```

02. function [sBer,tBer]=simMatchedFilterDetector(SNRdB,Nsym)
03. % SNR    信噪比dB值
04. % Nsym   仿真符号数
05. % sBer   仿真统计BER
06. % tBer   理论计算BER
07.
08. if nargin == 0 %无输入参数, 默认展示
09.     clear, close all;
10.     SNRdB=6;
11.     Nsym=1e5;
12. elseif nargin == 1
13.     Nsym=1e5;
14. end
15.
16. rng default
17.
18. Tsym=1;                %符号周期
19. Nsam=20;               %采样倍数
20. Tsam=Tsam/Nsam;       %采样周期
21.
22. L=6;                   %保存L个符号波形, 用于展示
23. LB=L*Nsam;            %保存的波形矢量长度
24.
25. sw(1,:)=ones(1,Nsam); % 信号波形 : 正交信号
26. sw(2,:)=[ones(1,Nsam/2), -ones(1,Nsam/2)];
27.
28. %计算波形能量和相关系数
29. E1=sum(sw(1,:).^2.*Tsam);
30. E2=sum(sw(2,:).^2.*Tsam);
31. Esym=(E1+E2)/2;

```

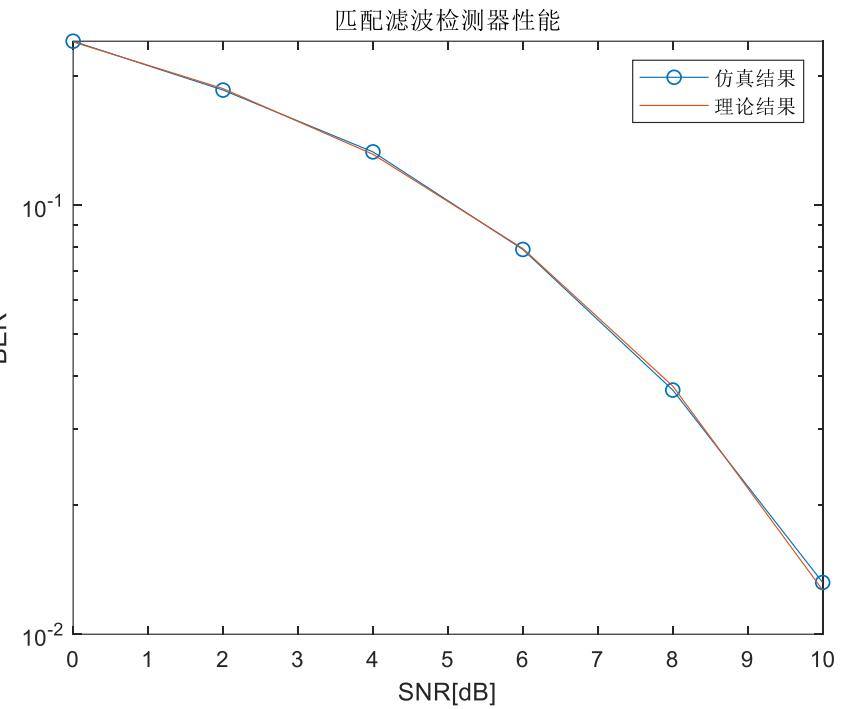
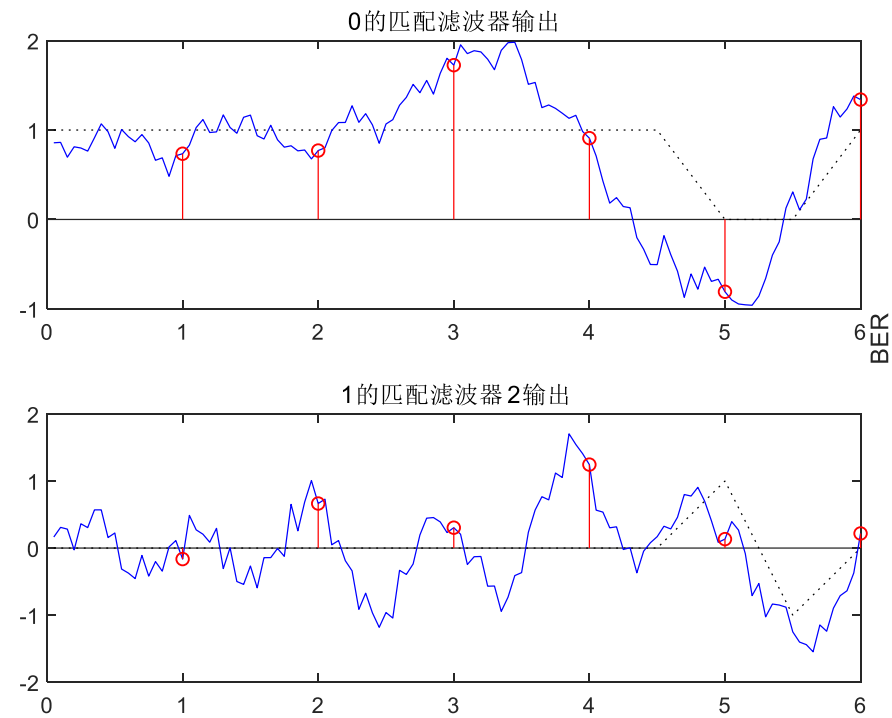
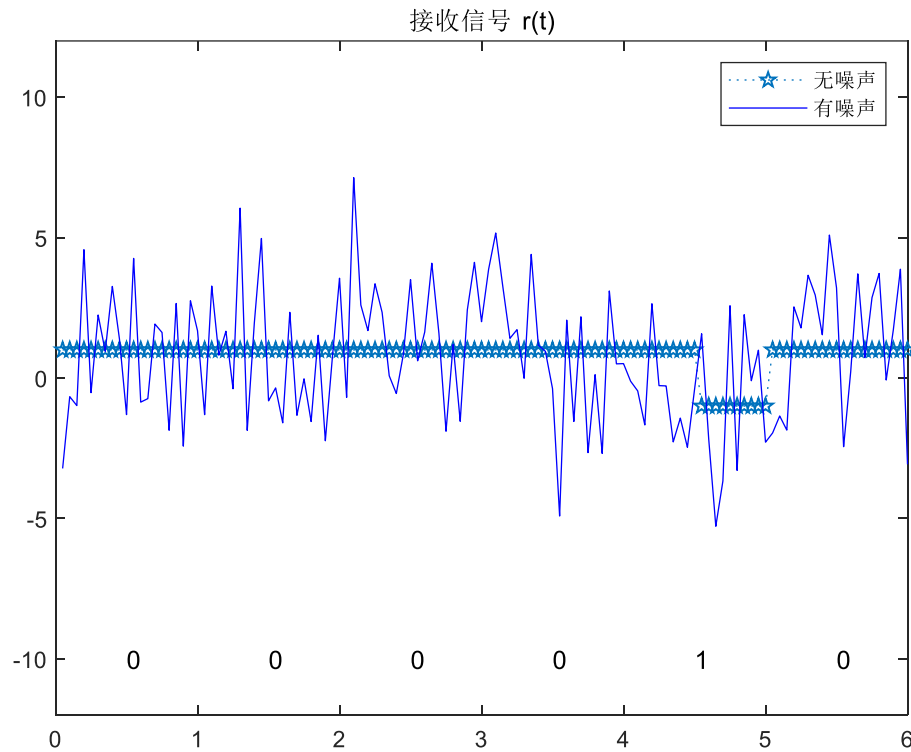
```

33. sBer=[];
34. tBer=[];
35. for SNR=10.^(SNRdB/10)
36.     N0=2*Esym/SNR; %单边功率谱密度
37.     halfN0=N0/2; %双边功率谱密度
38.     sigma_sT=sqrt(halfN0/Tsam); %噪声功率, 标准方差
39.
40.     st= zeros(1,LB);
41.     r= zeros(1,LB);
42.     y= zeros(2,LB); %输出波形: 无噪声影响
43.     yr= zeros(2,LB); %输出波形: 有噪声影响
44.
45.     s=zeros(1,Nsym);
46.     d=zeros(1,Nsym); %检测出的数据
47.
48.     zi=zeros(2,length(sw(1,:))-1);
49.     zin=zeros(2,length(sw(1,:))-1);
50.
51.     mf=1/Esym.*fliplr(sw);%匹配滤波器
52.     for n=1:Nsym
53.         s(n)=randi([0,1]);
54.         i=s(n)+1; %0,对应1的波形; 1, 对应2的波形
55.         for m=1:Nsam
56.             t=sw(i,m);
57.             tn=t+sigma_sT*randn;
58.             st=[st(2:LB) t]; % 发送信号波形
59.             r=[r(2:LB) tn]; % 被噪声影响的接收信号波形
60.
61.             if size(SNRdB,2)==1
62.                 [yy(1,:),zi(1,:)]=filter(mf(1,:),[1],t,zi(1,:)); %无噪声影响下的匹配滤波器1输出
63.                 [yy(2,:), zi(2,:)]=filter(mf(2,:),[1],t,zi(2,:)); %无噪声影响下的匹配滤波器2输出
64.                 y=[y(:,2:LB) yy.*Tsam];
65.             end
66.
67.             [yyn(1,:), zin(1,:)]=filter(mf(1,:),[1],tn,zin(1,:)); %有噪声影响下的匹配滤波器1输出
68.             [yyn(2,:), zin(2,:)]=filter(mf(2,:),[1],tn,zin(2,:)); %有噪声影响下的匹配滤波器2输出
69.             yr=[yr(:,2:LB) yyn.*Tsam];
70.         end
71.         % 检测器
72.         %d(n)=((yr(1,end)<yr(2,end)));
73.         d(n)=(yr(2,end)>yr(1,end));
74.     end
75.     sBer=[sBer sum(s~=d)/Nsym];
76.     tBer=[tBer qfn(sqrt(Esym/N0))];
77. end

```

仿真结果

□ `simMatchedFilterDetector.m`

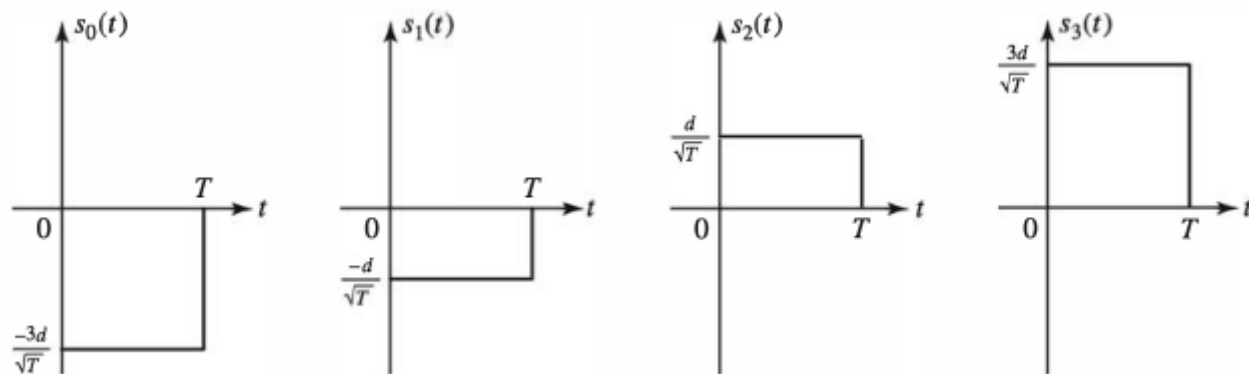


□ `[a,b]=simMatchedFilterDetector(0:2:10)`

多幅度信号传输

□ PAM (Pulse Amplitude Modulation) 信号波形

$$s_m(t) = A_m g(t), \quad 0 \leq t \leq T \quad A_m = (2m - 3)d, \quad m = 0, 1, 2, 3$$



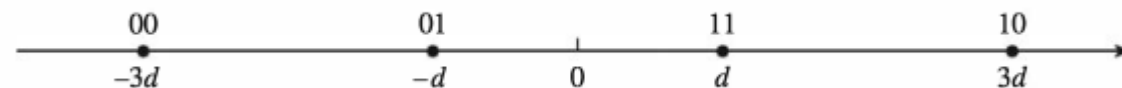
$$00 \rightarrow s_0(t)$$

$$01 \rightarrow s_1(t)$$

$$11 \rightarrow s_2(t)$$

$$10 \rightarrow s_3(t)$$

✓ 符号: {00, 01, 10, 11}



□ 数学模型

$$r(t) = s_i(t) + n(t), \quad i = 0, 1, 2, 3, \quad 0 \leq t \leq T$$

✓ $n(t)$ 是 AWGN 的采样函数, 功率谱 $N_0/2$ W/Hz

相关接收机

- 接收信号 $r(t)$ 与信号脉冲 $g(t)$ 相关，并在 $t = T$ 时采样输出

$$\begin{aligned} r &= \int_0^T r(t)g(t) dt \\ &= \int_0^T A_i g^2(t) dt + \int_0^T g(t)n(t) dt \\ &= A_i + n \end{aligned}$$

$$n = \int_0^T g(t)n(t) dt$$

$$E(n) = \int_0^T g(t)E[n(t)] dt = 0$$

- 相关器输出的PDF为

$$p(r | s_i(t) \text{ was transmitted}) = \frac{1}{\sqrt{2\pi}\sigma} e^{-(r-A_i)^2/2\sigma^2}$$

$$\begin{aligned} \sigma^2 &= E(n^2) \\ &= \int_0^T \int_0^T g(t)g(\tau)E[n(t)n(\tau)] dt d\tau \\ &= \frac{N_0}{2} \int_0^T \int_0^T g(t)g(\tau)\delta(t-\tau) dt d\tau \\ &= \frac{N_0}{2} \int_0^T g^2(t) dt \\ &= \frac{N_0}{2} \end{aligned}$$

- 最优接收机计算距离，并选择距离最小幅度的作为输出

$$D_i = |r - A_i|, \quad i = 0, 1, 2, 3$$

错误分析

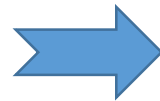
□ 平均错误概率

- ✓ 发送 $\pm d$: 噪声 $|n| > d$ 就会出现错误
- ✓ 发送 $\pm 3d$: 噪声在一个方向上可以出现错误

$$\begin{aligned} SER &= P[A_i = -3d, P[r - A_i > d | A_i = -3d] + P[A_i = -d, P[r - A_i > d | A_i = -d] \\ &\quad + P[A_i = d, P[r - A_i > d | A_i = d] + P[A_i = 3d, P[r - A_i > -d | A_i = 3d] \\ &= \frac{1}{4} \left[P[r - A_i > d | A_i = -3d] + P[r - A_i > d | A_i = -d] + P[r - A_i > d | A_i = d] + P[r - A_i > -d | A_i = 3d] \right] \\ &= \frac{1}{4} \cdot 6 \int_d^{+\infty} \frac{1}{\sqrt{2\pi}\sigma} e^{-\frac{x^2}{2\sigma^2}} dx = \frac{3}{2} \int_{\frac{d}{\sigma}}^{+\infty} \frac{1}{\sqrt{2\pi}} e^{-\frac{x^2}{2}} dx = \frac{3}{2} Q\left(\sqrt{\frac{d^2}{\sigma^2}}\right) = \frac{3}{2} Q\left(\sqrt{\frac{2d^2}{N_0}}\right) \end{aligned}$$

✓ 平均符号能量

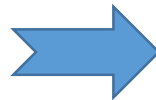
$$E_{av} = \frac{1}{4} \sum_{k=1}^4 \int_0^T s_k^2(t) dt = 5d^2$$



$$SER = \frac{3}{2} Q\left(\sqrt{\frac{2E_{av}}{5N_0}}\right)$$

✓ 平均比特能量

$$E_{av}/2 \equiv \bar{E}_{avb}$$



$$BER = \frac{1}{2} SER = \frac{3}{4} Q\left(\sqrt{\frac{4E_{avb}}{5N_0}}\right)$$

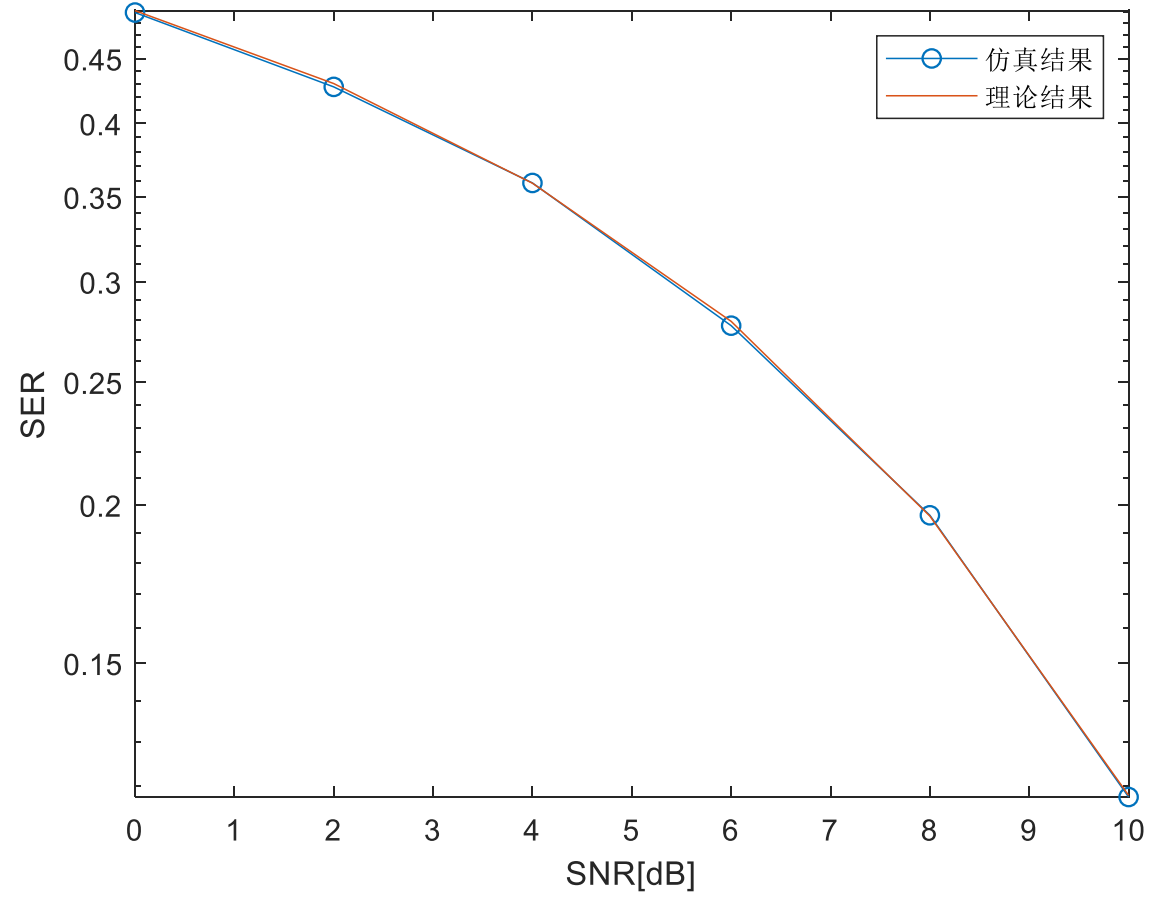
4PAM仿真实现

□ sim4PAM.m

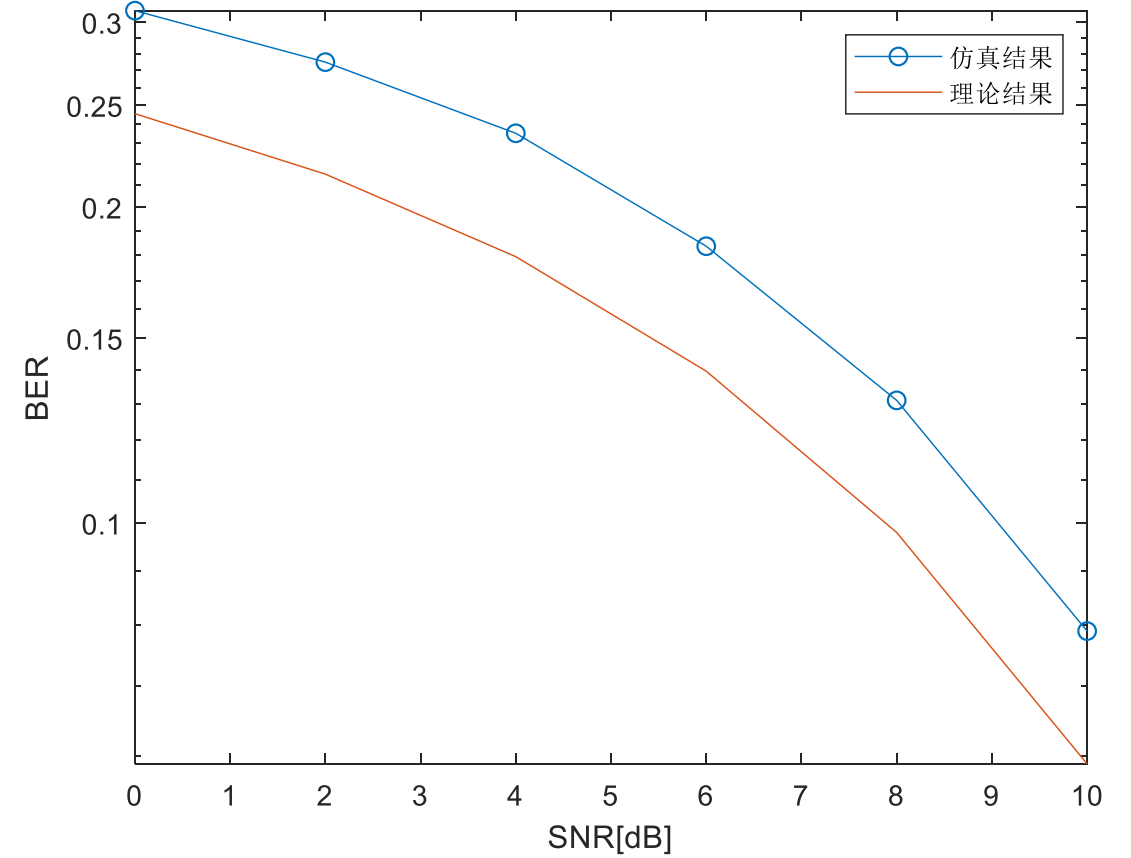
```
13. rng default
14. M = 4; % 星座点数
15. k = log2(M); % 每符号的点数
16. dataIn = randi([0 1],Nbit,1); % 生成随机比特
17. dataInMatrix = reshape(dataIn,length(dataIn)/k,k);
18. dataSymbolsIn = bi2de(dataInMatrix); % 把bit转成符号
19. dataMod = double(pammod(dataSymbolsIn,M,0,'bin')); % PAM调制, 相位偏转0
20. Nsym=Nbit/k;
21.
22. sBer=[];
23. tBer=[];
24. sSer=[];
25. tSer=[];
26. for SNR=10.^(SNRdB/10)
27.     y = awgn(dataMod,10*log10(SNR),'measured');
28.     dataSymbolsOut = pamdemod(y,M,0,'bin');
29.     dataOutMatrix = de2bi(dataSymbolsOut,k);
30.     dataOut = dataOutMatrix(:); % Return data in column vector
31.
32.     sBer=[sBer sum(dataIn~=dataOut)/Nbit];
33.     tBer=[tBer 3/4*qfn(sqrt(SNR/5))];
34.     sSer=[sSer sum(dataSymbolsOut~=dataSymbolsIn)/Nsym];
35.     tSer=[tSer 1.5*qfn(sqrt(SNR/5))];
36.     fprintf('仿真SER[%6.2e] 理论SER[%6.2e] 仿真BER[%6.2e] 理论BER[%6.2e]\n',sSer,tSer,sBer,tBer);
37. end
38.
```

仿真性能

4PAM SER 性能



4PAM BER 性能



推广到更高阶PAM

□ 对MPAM，每个符号代表 $b=\log_2(M)$ 个比特

□ 平均符号功率为

$$E_{av} = \frac{1}{M} 2d^2 \left[1^2 + 3^2 + \dots + (M-1)^2 \right] = \frac{2d^2}{6M} (M^2 - 1)$$

□ 平均比特功率为

$$E_{av,b} = \frac{1}{M} 2d^2 \left[1^2 + 3^2 + \dots + (M-1)^2 \right] = \frac{2d^2}{6Mb} (M^2 - 1)$$

□ 平均错误概率

$$SER = P(s_0) + 2P(s_1) + \dots + 2P(s_{M-2}) + P(s_{M-1}) = Q\left(\sqrt{\frac{d^2}{\sigma^2}}\right)$$

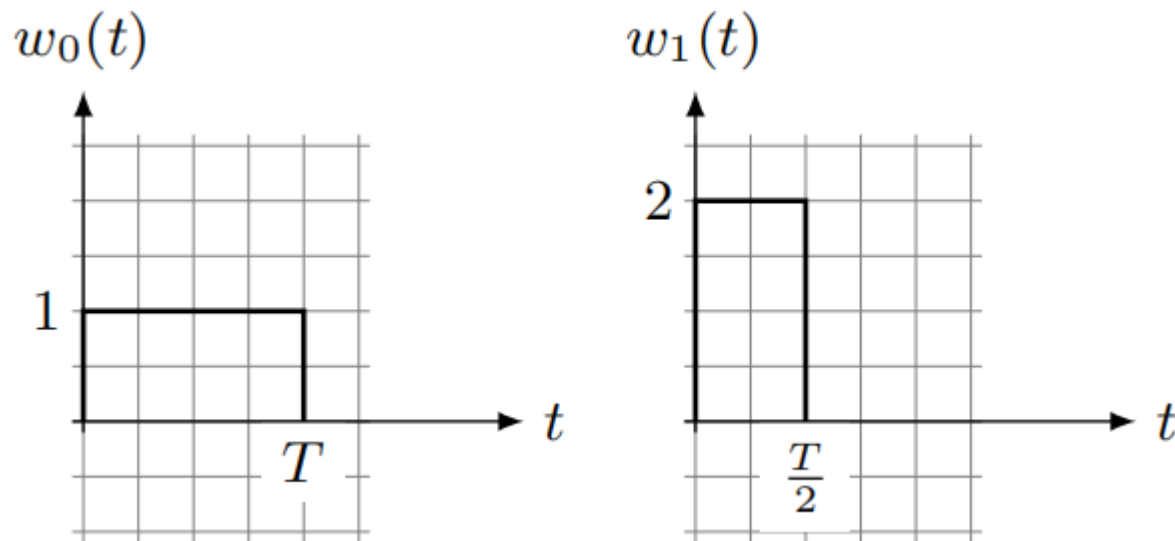
$$= \frac{2(M-1)}{M} Q\left(\sqrt{\frac{2d^2}{N_0}}\right)$$

$$= \frac{2(M-1)}{M} Q\left(\sqrt{\frac{6ME_{av}}{(M^2-1)N_0}}\right)$$

$$BER = \frac{1}{b} SER$$

课后作业

- 考虑基于双极性信号的基带传输系统，假设基带脉冲信号有如下两种形式，通过AWGN信道后，利用匹配滤波器进行数据接收，请绘制这两种脉冲信号的BER性能曲线，并将这些曲线与理论BER曲线进行比较和分析
 - ✓ 方波脉冲 $p(t) = u(t) - u(t - T)$
 - ✓ 半正弦脉冲 $p(t) = \sin\left(\frac{\pi t}{T}\right) [u(t) - u(t - T)]$
- 编程实现gramm - schmidt过程，为所下所示的函数张成的向量空间找到一组标准正交基



课后作业

- **Demo1, 实现AWGN下PAM调制与解调, 并分析仿真结果**
 - ✓ 发射信号与接收信号对比
 - ✓ 发射和接收信号星座图对比
 - ✓ 统计仿真的BER和SER, 并与SER的理论计算结果对比

有问题，随便问！

